

Etude de systèmes spatialement étendus
au voisinage de bifurcations

Guillaume Réocreux

Session Lille du GDR MOAD 21-23 mars 2007

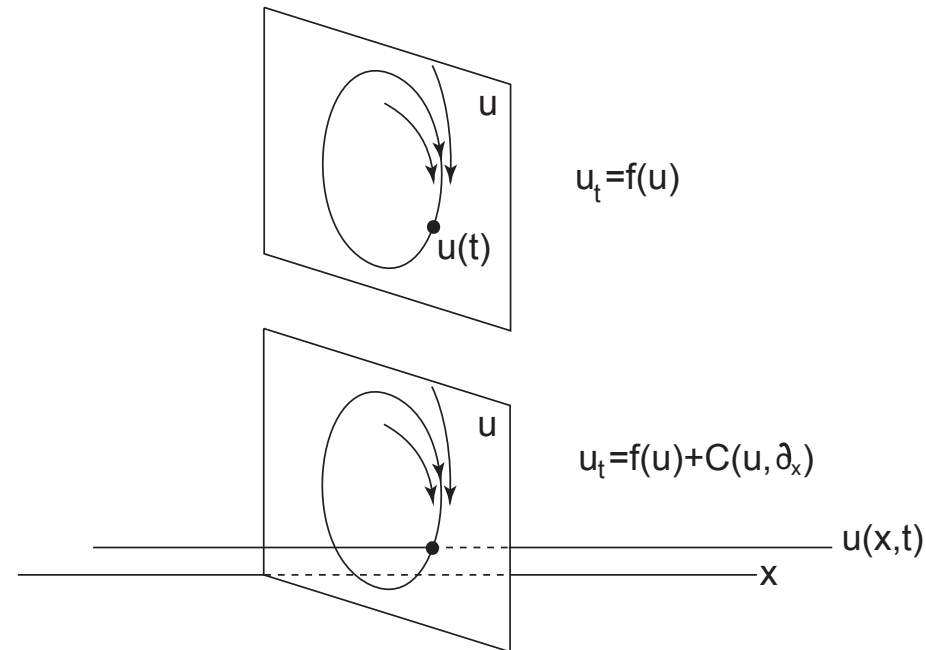
I. Déploiement spatial de la bifurcation homocline séparatrice à un nœud-col

II. Emission périodique de type I de pulses

I. Déploiement spatial de la bifurcation homocline séparatrice à un nœud-col

1. Cadre général
2. Déploiement spatial de bifurcation
3. Résultats

$$u_t = f(u) \quad \rightarrow \quad u_t = f(u) + C(u, \partial_x), \quad C(u, 0) = 0$$



Lien entre la dynamique de l'EDO et la dynamique de l'EDP (stabilité...)

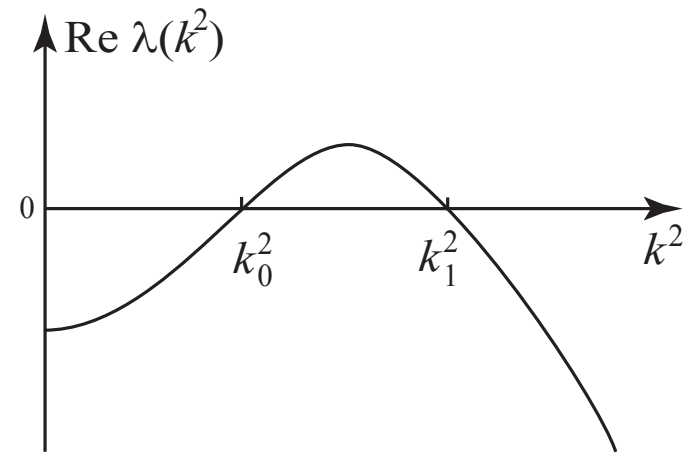
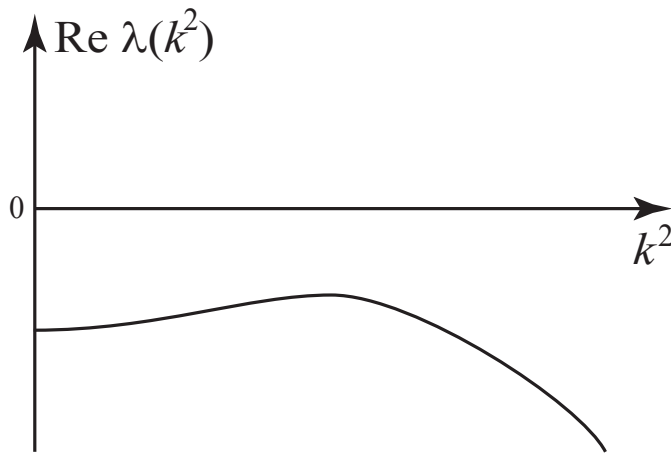
- Exemples :
- instabilité de Turing
 - instabilité de phase de Kuramoto

$$u \in \mathbf{R}^2 \quad f(0) = 0 \quad \sigma(Df(0)) \subset \{\operatorname{Re} z < 0\}$$

$$u_t = f(u) + C u_{xx}$$

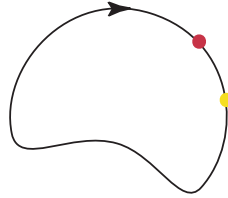
Equation linéarisée en 0 pour les modes de Fourier

$$\hat{v}_t(k, t) = (Df(0) - k^2 C) \hat{v}(k, t)$$

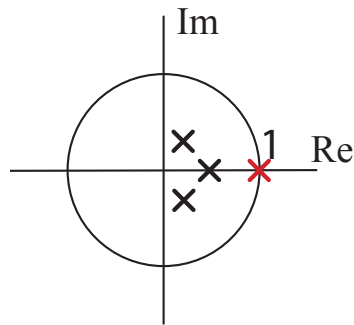


I.1.2. Instabilité de phase de Kuramoto

$t \mapsto p(t)$ solution périodique



Multiplicateurs de Floquet



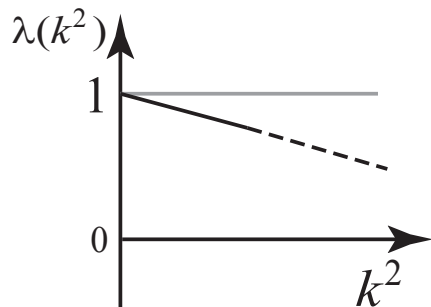
$u_t = f(u) + C(u, \partial_x)$ espace isotrope

Pour k petit,

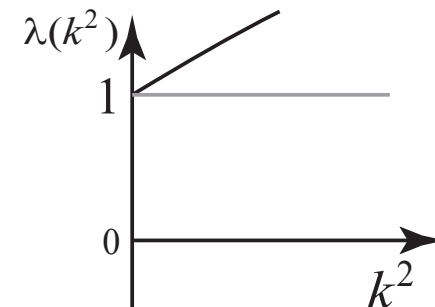
$$\hat{v}_t(k, t) = (Df(p(t)) - k^2 C(p(t)) + \mathcal{O}(k^4)) \hat{v}(k, t)$$

$\Phi(k^2)$ opérateur de monodromie

$\partial_{k^2} \lambda(0) < 0$



$\partial_{k^2} \lambda(0) > 0$



$$u_t = f(u, \mu)$$

Bifurcation en $\mu = 0$

$t \mapsto p_\mu(t)$ périodique linéairement stable, $\mu > 0$

Couplage spatial avec espace isotrope

Stabilité pour petits k

$$\hat{v}_t = \left(Df(p_\mu(t), \mu) - k^2 C(p_\mu(t), \mu) + \mathcal{O}(k^4) \right) \hat{v}$$

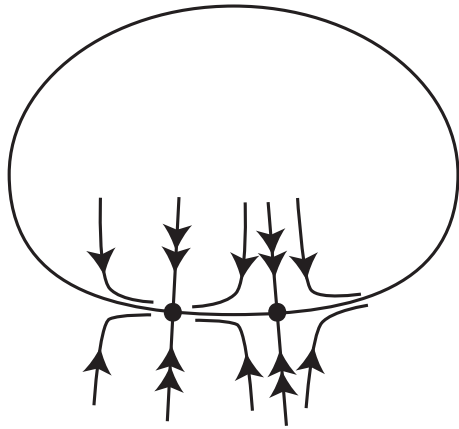
Opérateur de monodromie Φ_{μ, k^2}

Multiplicateur issu de la direction de la phase λ_{μ, k^2}

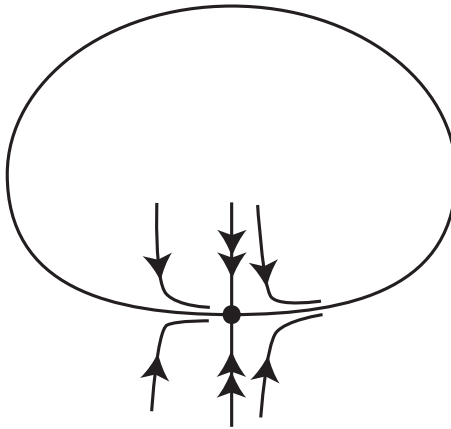
Argentina, Couillet, Risler, Vandenberghe (INLN)

I.2.1. Bifurcation homocline à un nœud-col

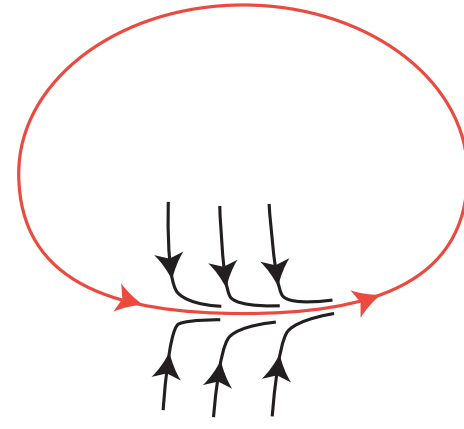
Nœud-col en $u = 0, \mu = 0$



$\mu < 0$



$\mu = 0$



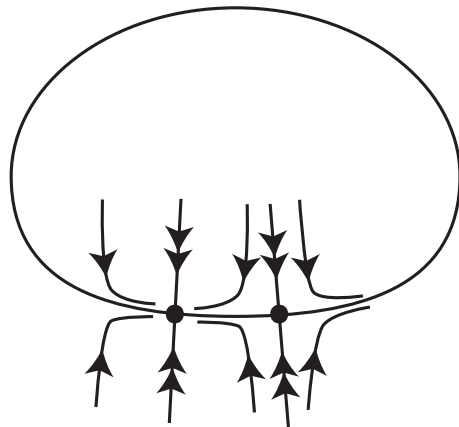
$\mu > 0$

$$C(0, 0) = \begin{pmatrix} c & * \\ * & * \end{pmatrix}$$

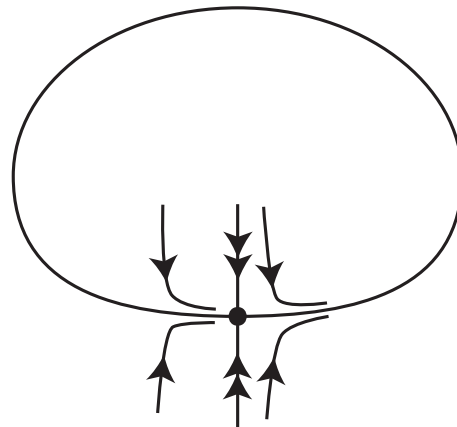
$$c = \langle e_0^*, C(0, 0)e_0 \rangle$$

I.2.1. Bifurcation homocline à un nœud-col

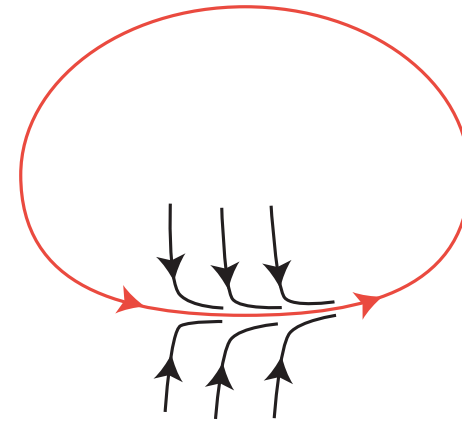
Nœud-col en $u = 0, \mu = 0$



$\mu < 0$



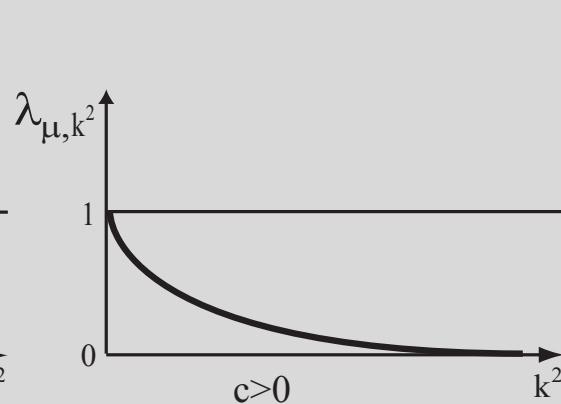
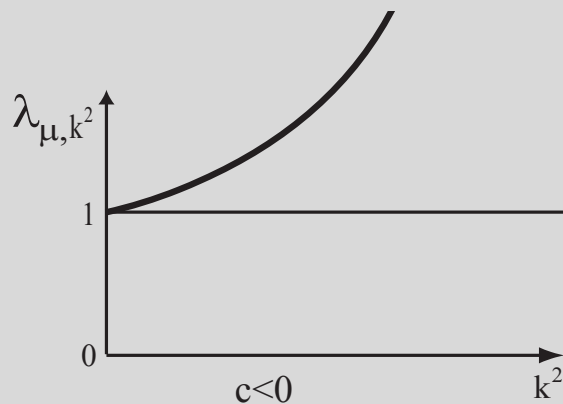
$\mu = 0$



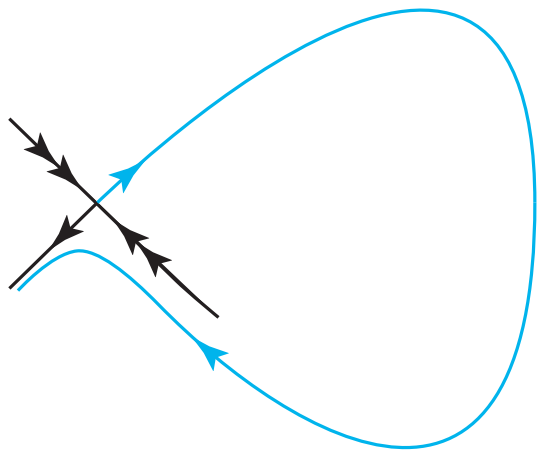
$\mu > 0$

$$C(0, 0) = \begin{pmatrix} c & * \\ * & * \end{pmatrix} \quad c = \langle e_0^*, C(0, 0)e_0 \rangle$$

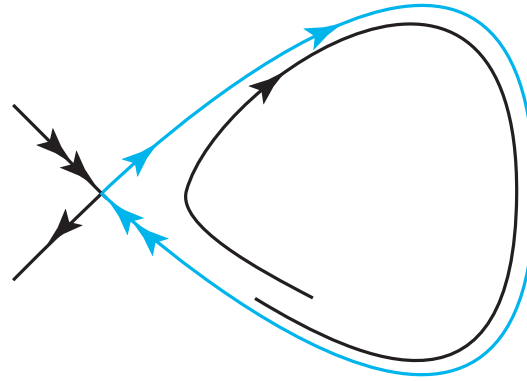
$$\lambda_{\mu, k^2} \simeq \exp(-cTk^2) \quad T \propto \mu^{-1/2}$$



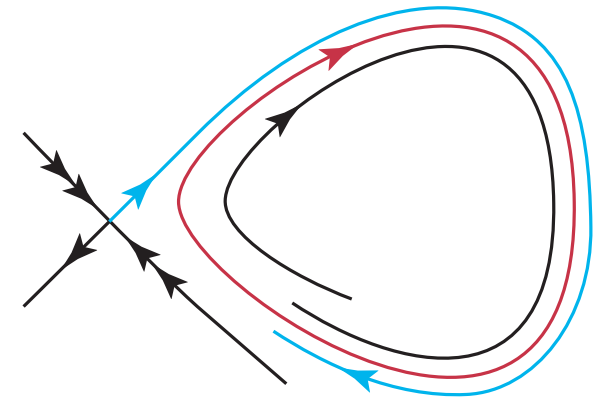
I.2.2 Bifurcation homocline à un point selle



$\mu < 0$

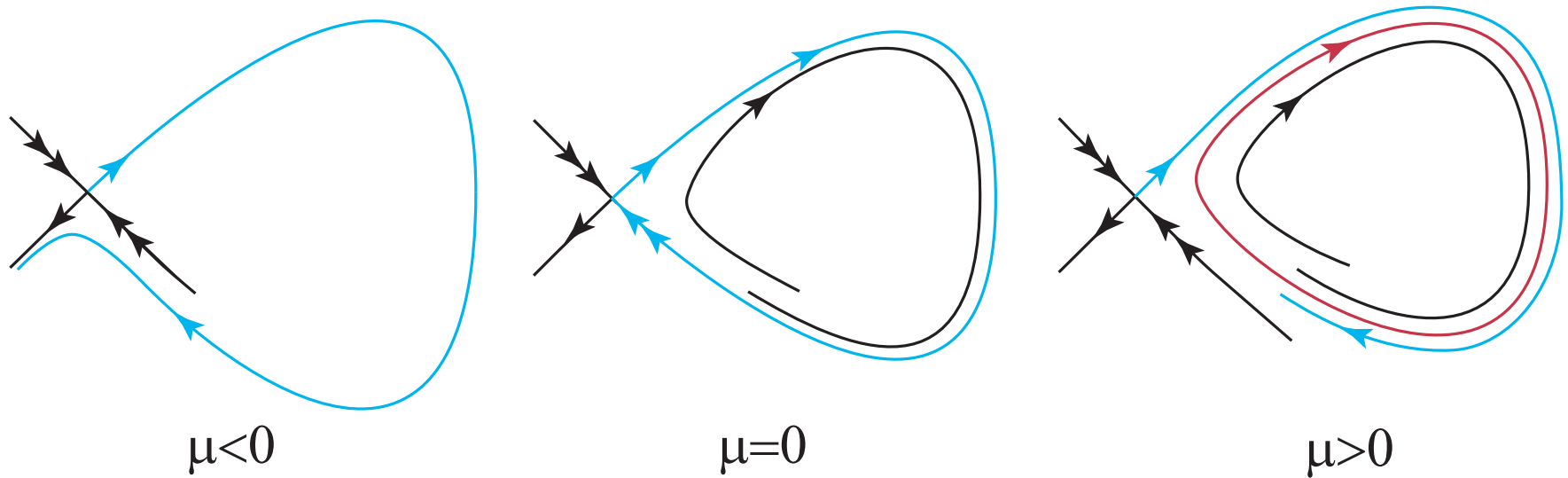


$\mu = 0$



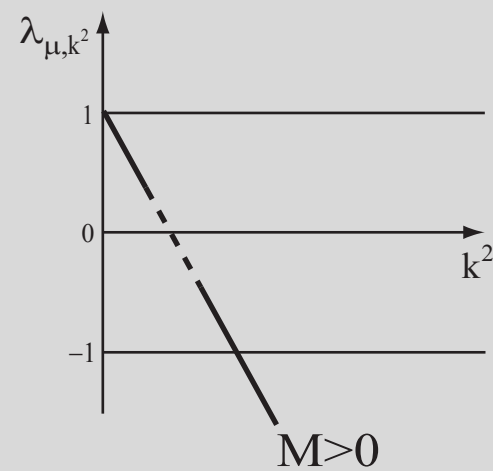
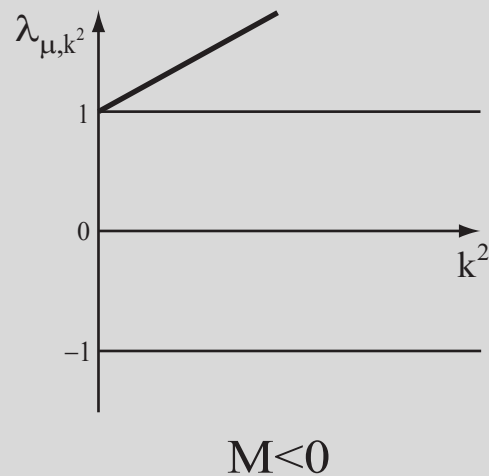
$\mu > 0$

I.2.2 Bifurcation homocline à un point selle

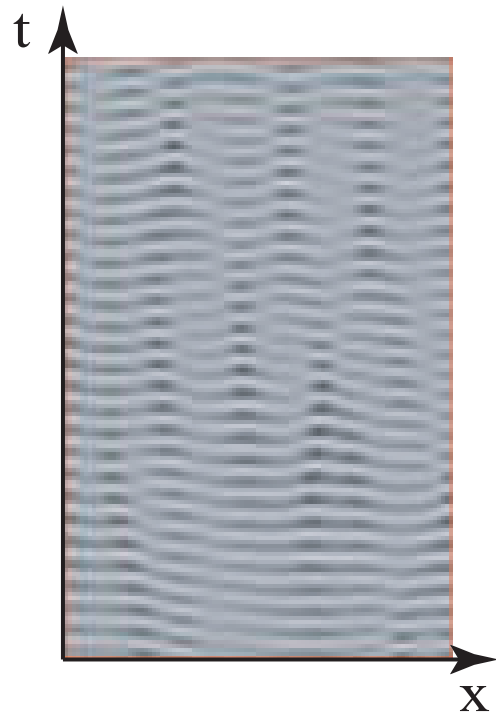


$$M = \int_{-\infty}^{+\infty} \langle h_0^*(t), C(h_0(t), 0)h_0'(t) \rangle dt$$

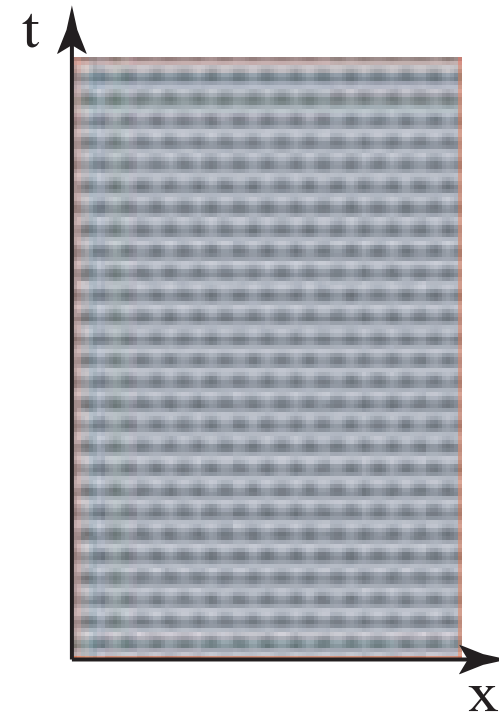
$$\lambda_{\mu, k^2} \simeq 1 - \alpha M k^2 \mu^{-1} \quad \alpha > 0$$



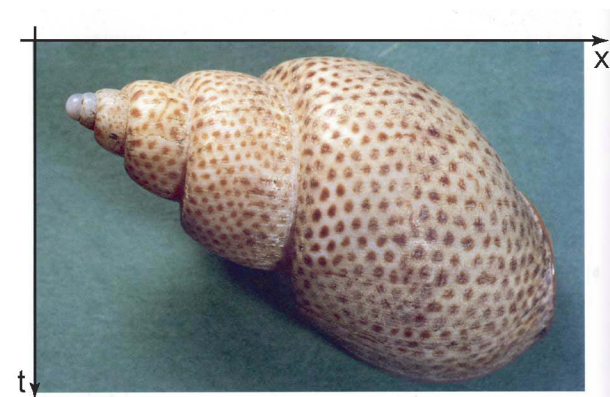
Diagrammes spatiotemporels



instabilité de phase
 $M < 0$

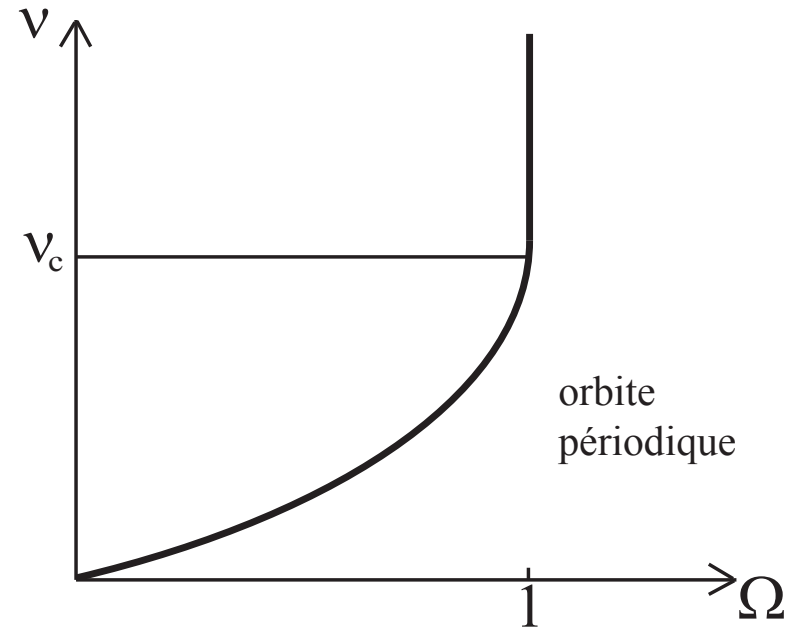
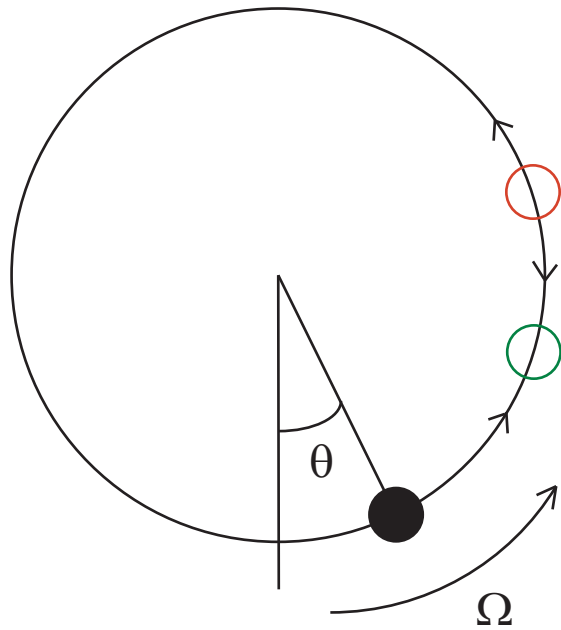


instabilité autoparamétrique
 $M > 0$



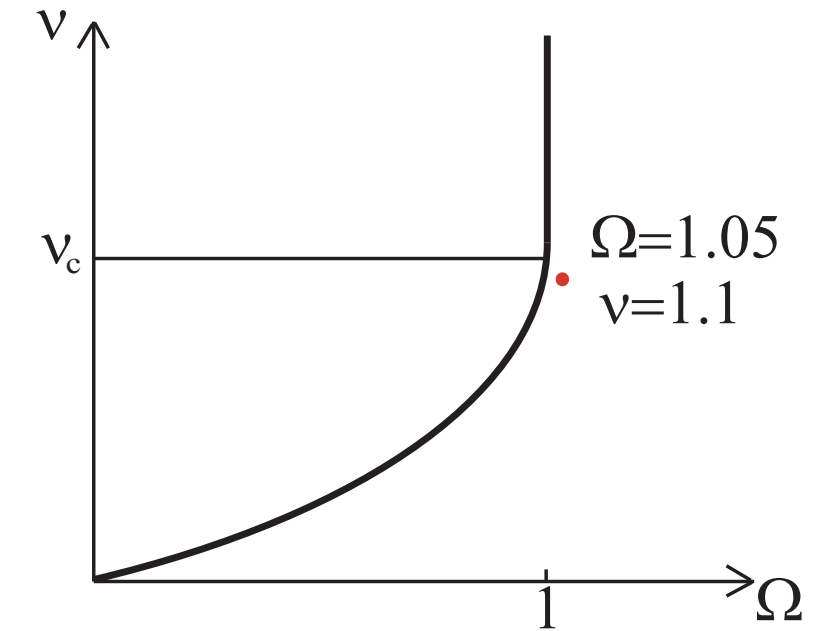
I.2.2.1.Exemple Pendule amorti soumis à un couple constant

$$\ddot{\theta} = -\sin \theta - \nu \dot{\theta} + \Omega$$



I.2.2.1.Exemple Pendule amorti soumis à un couple constant

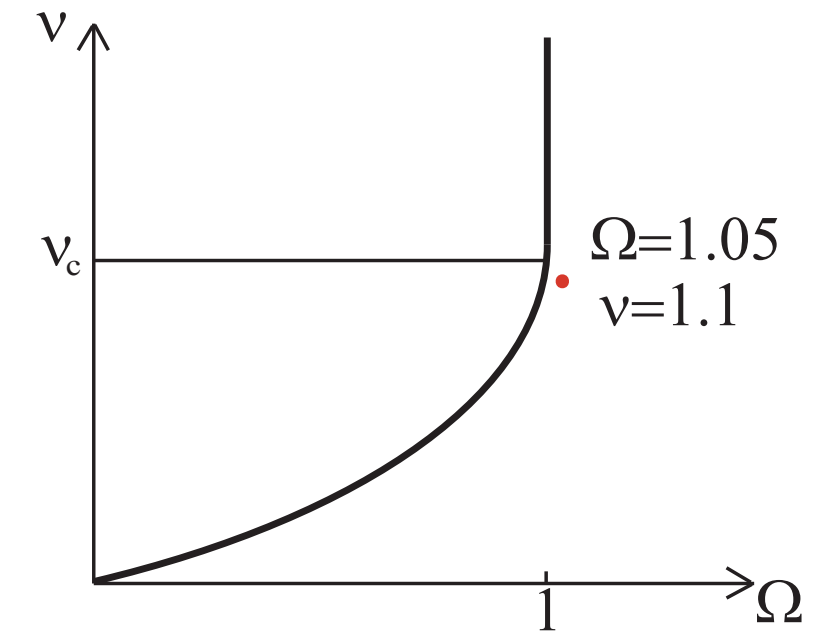
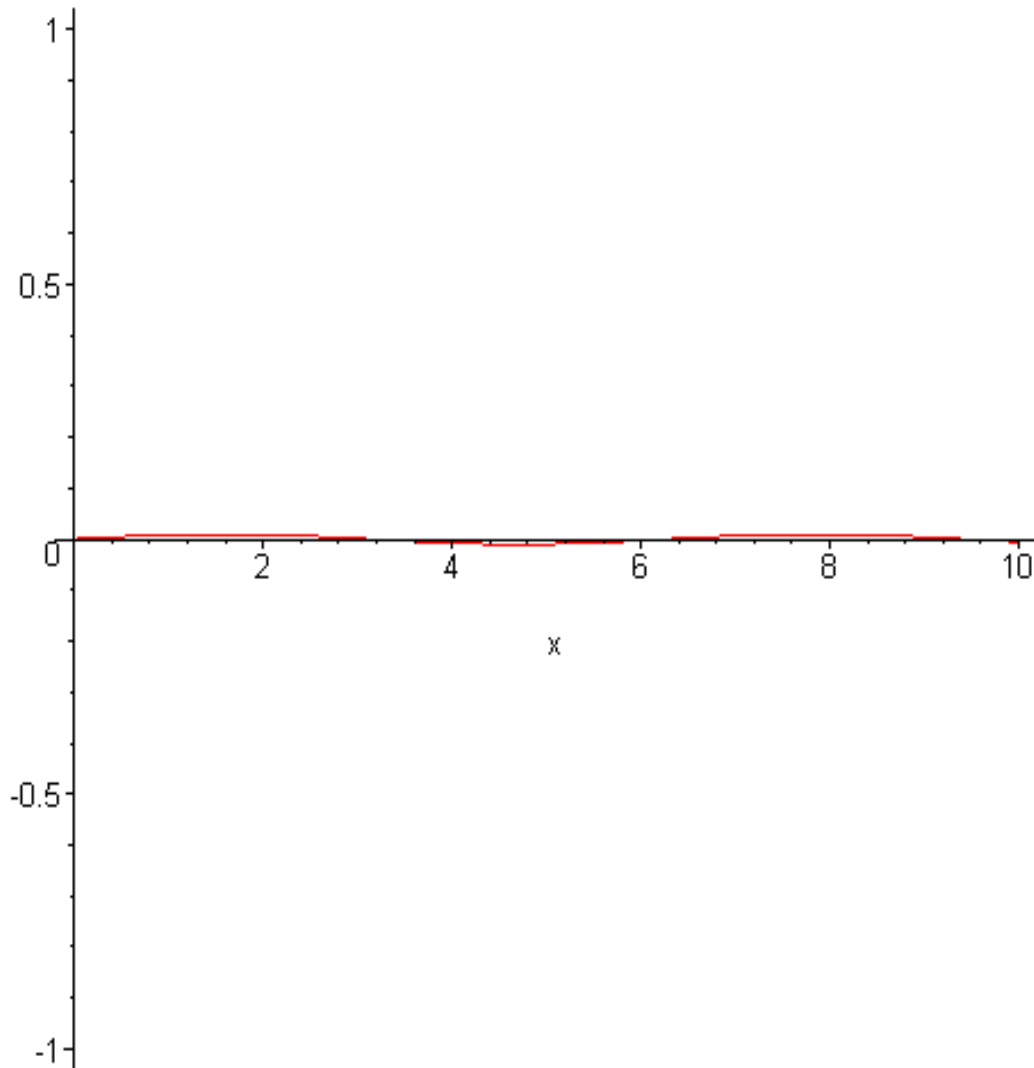
$$\ddot{\theta} = -\sin \theta - \nu \dot{\theta} + \Omega + \kappa \theta_{xx}$$



$$\kappa = 0.044$$

I.2.2.1.Exemple Pendule amorti soumis à un couple constant

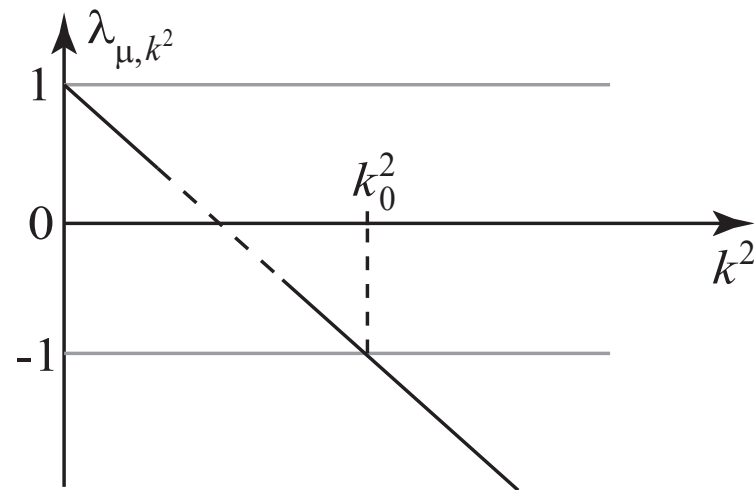
$$\ddot{\theta} = -\sin \theta - \nu \dot{\theta} + \Omega + \kappa \theta_{xx}$$

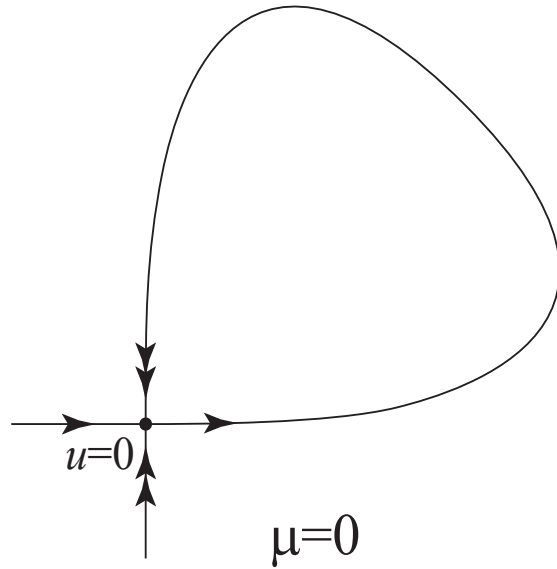


$$\kappa = 0.044$$

instabilité autoparamétrique $M > 0$

$$\lambda_{\mu, k^2} \simeq 1 - \alpha M k^2 \mu^{-1}$$





$$u_t = f(u, \mu) + C(u, \partial_x)$$

$$u = (u_1, u_2) \in \mathbf{R}^2$$

$$\mu = (\mu_1, \mu_2) \in \mathbf{R}^2$$

1. Etude de la bifurcation (*Chow et Lin*)
2. Influence du couplage spatial

$$\hat{v}_t = \left(Df(p_\mu(t), \mu) - k^2 C(p_\mu(t), \mu) + \mathcal{O}(k^4) \right) \hat{v}$$

Opérateur de monodromie Φ_{μ, k^2}

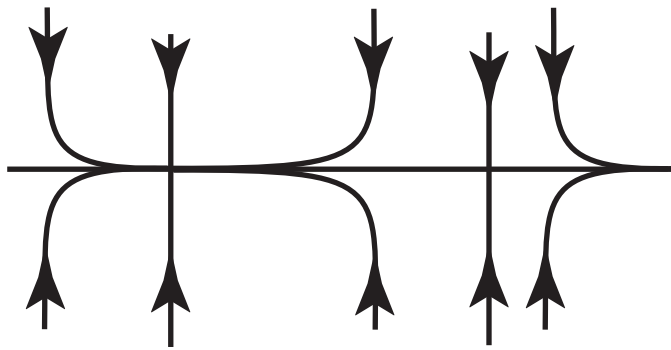
Multiplicateur issu de la direction de la phase λ_{μ, k^2}

3. Etude non-linéaire au seuil

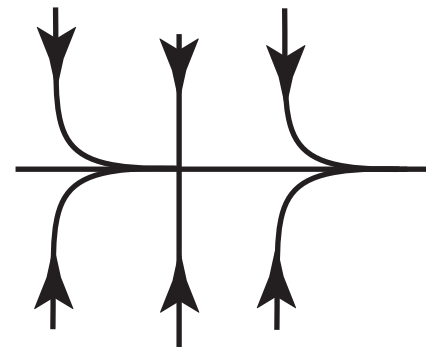
$$M > 0, c > 0$$

Au voisinage de 0,

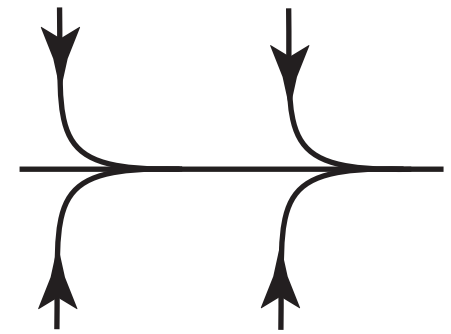
$$\begin{cases} \dot{u}_1 = f_1(u, \mu) \simeq \mu_1 + u_1^2 \\ \dot{u}_2 = f_2(u, \mu) \simeq -u_2 \end{cases}$$



$\mu_1 < 0$

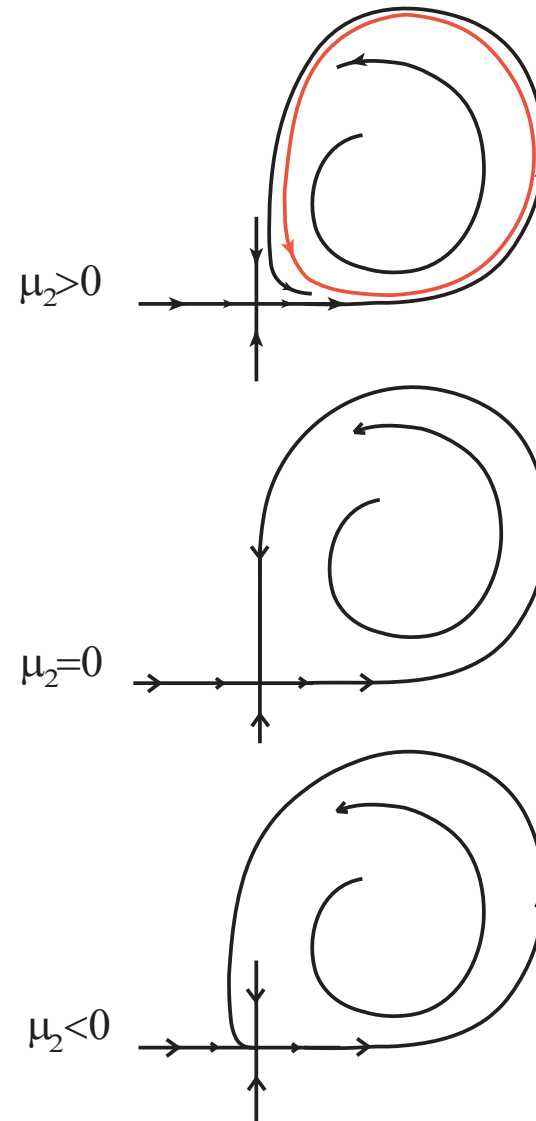


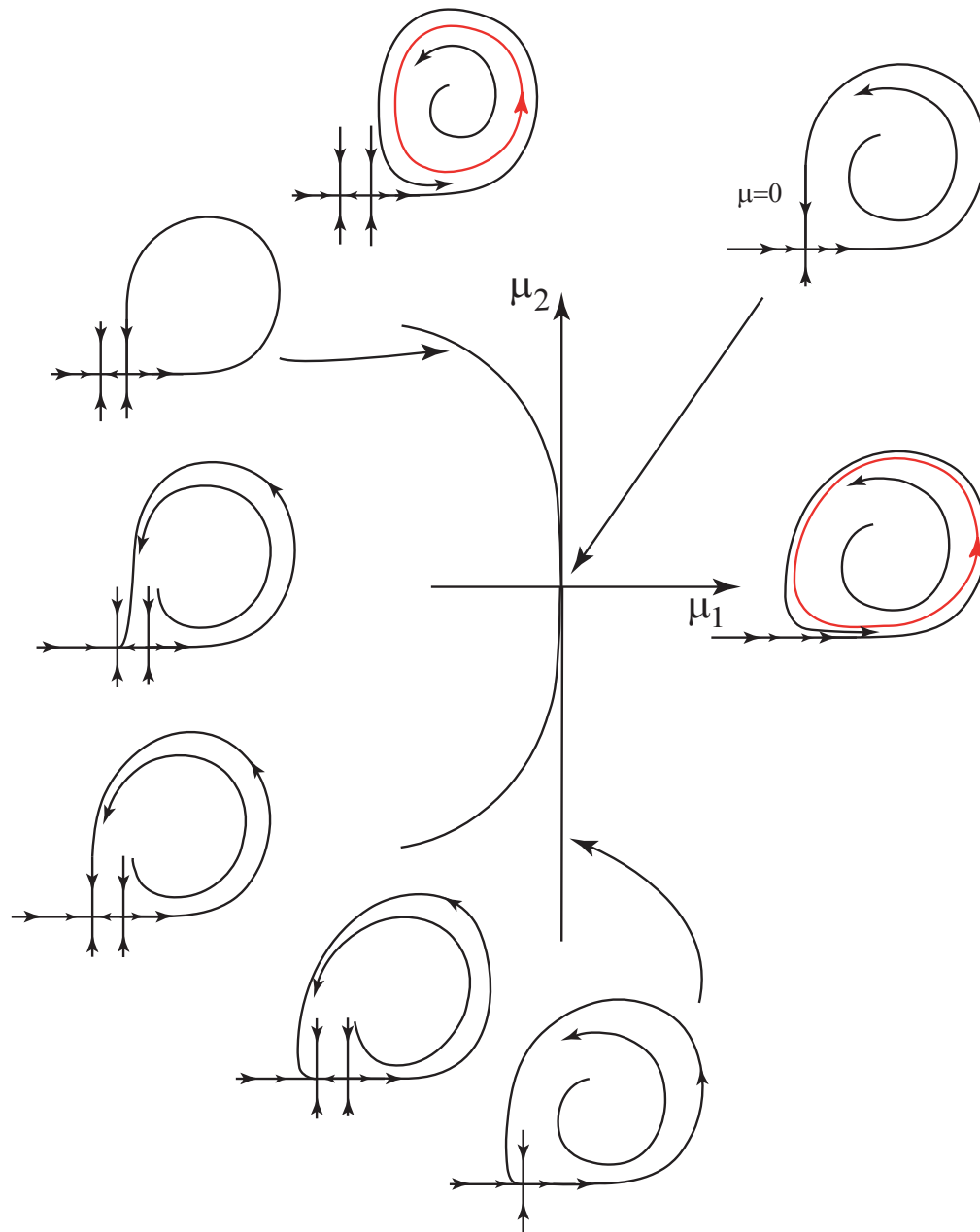
$\mu_1 = 0$

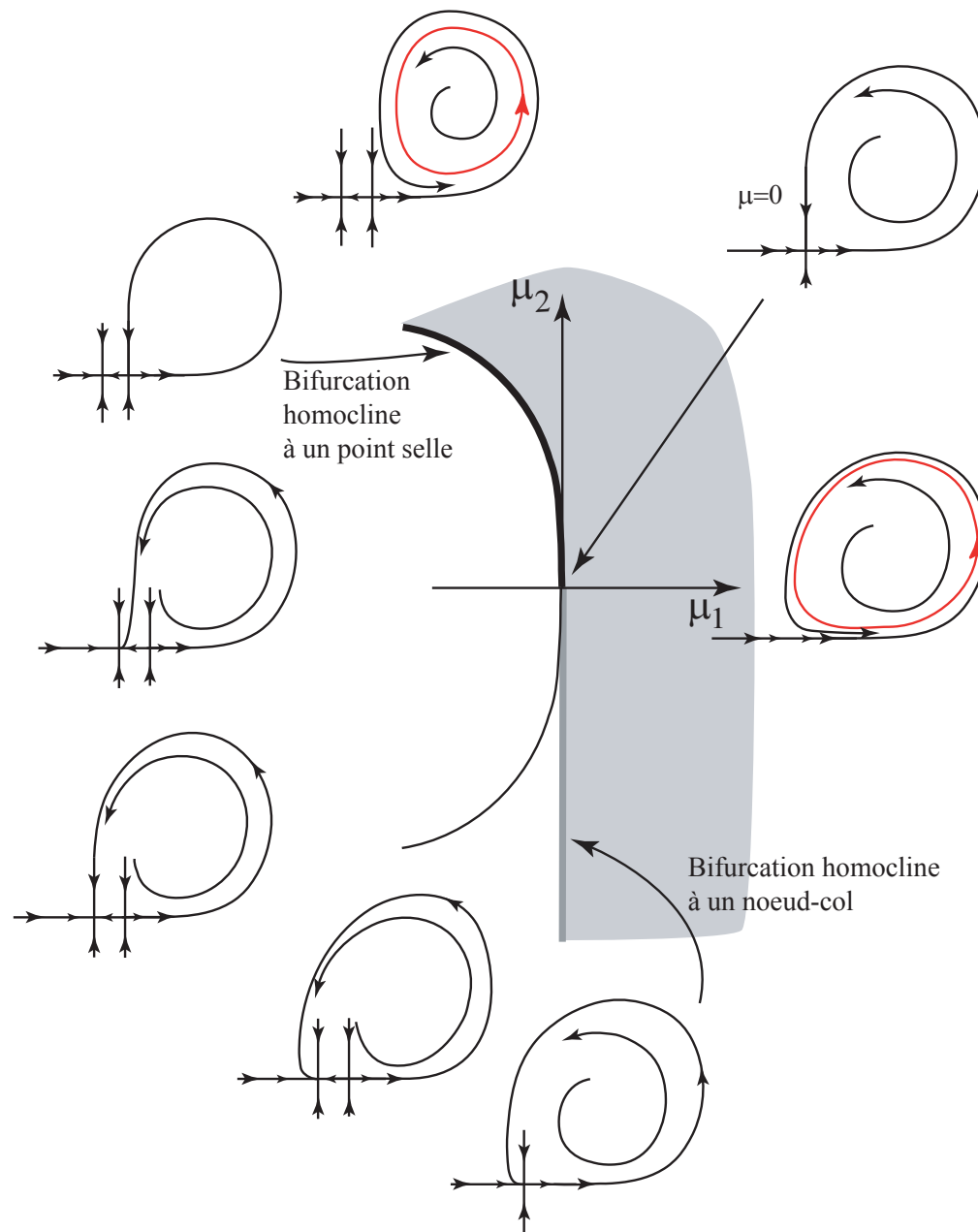


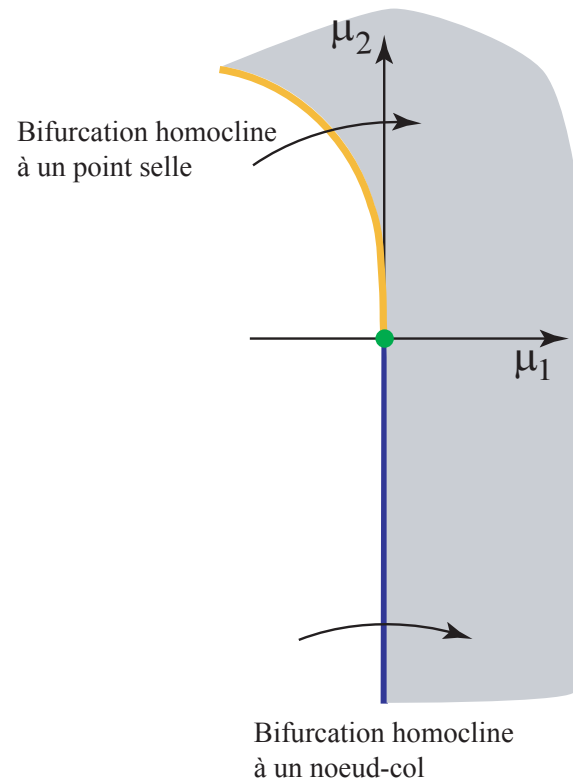
$\mu_1 > 0$

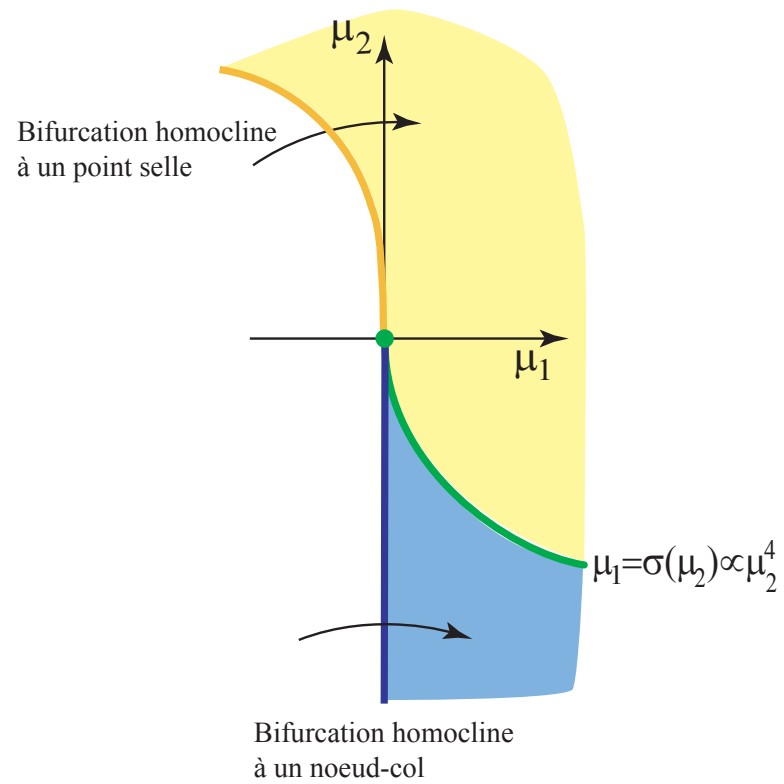
pour $\mu_1 = 0$





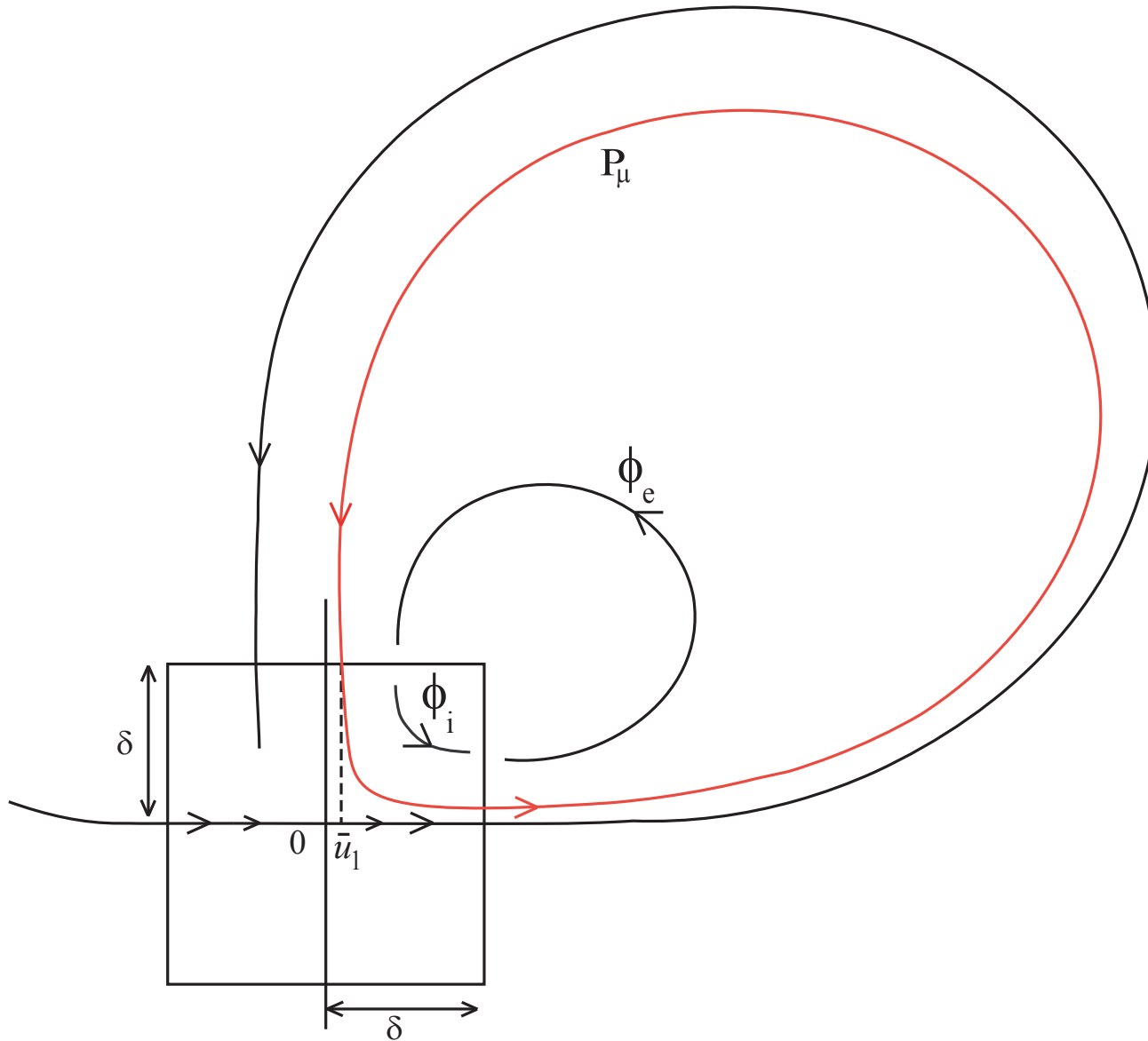






I.3.2. Influence du couplage spatial

$$\mu_1 > 0$$



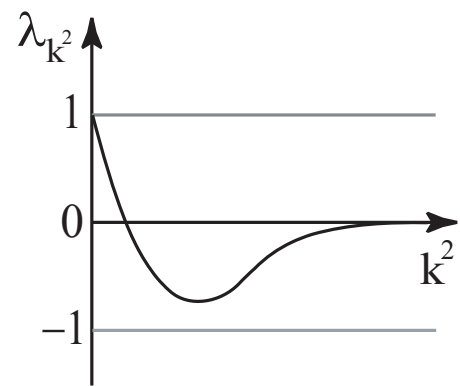
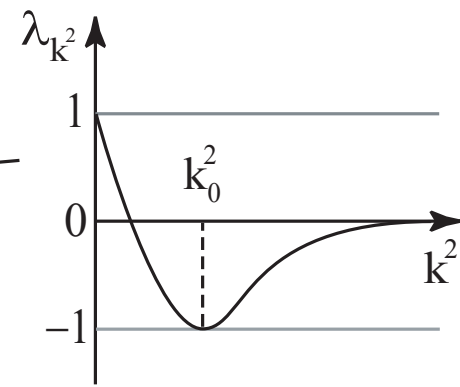
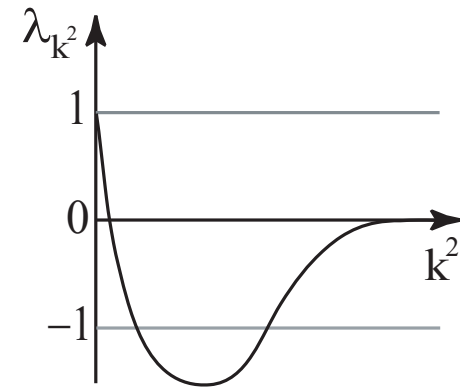
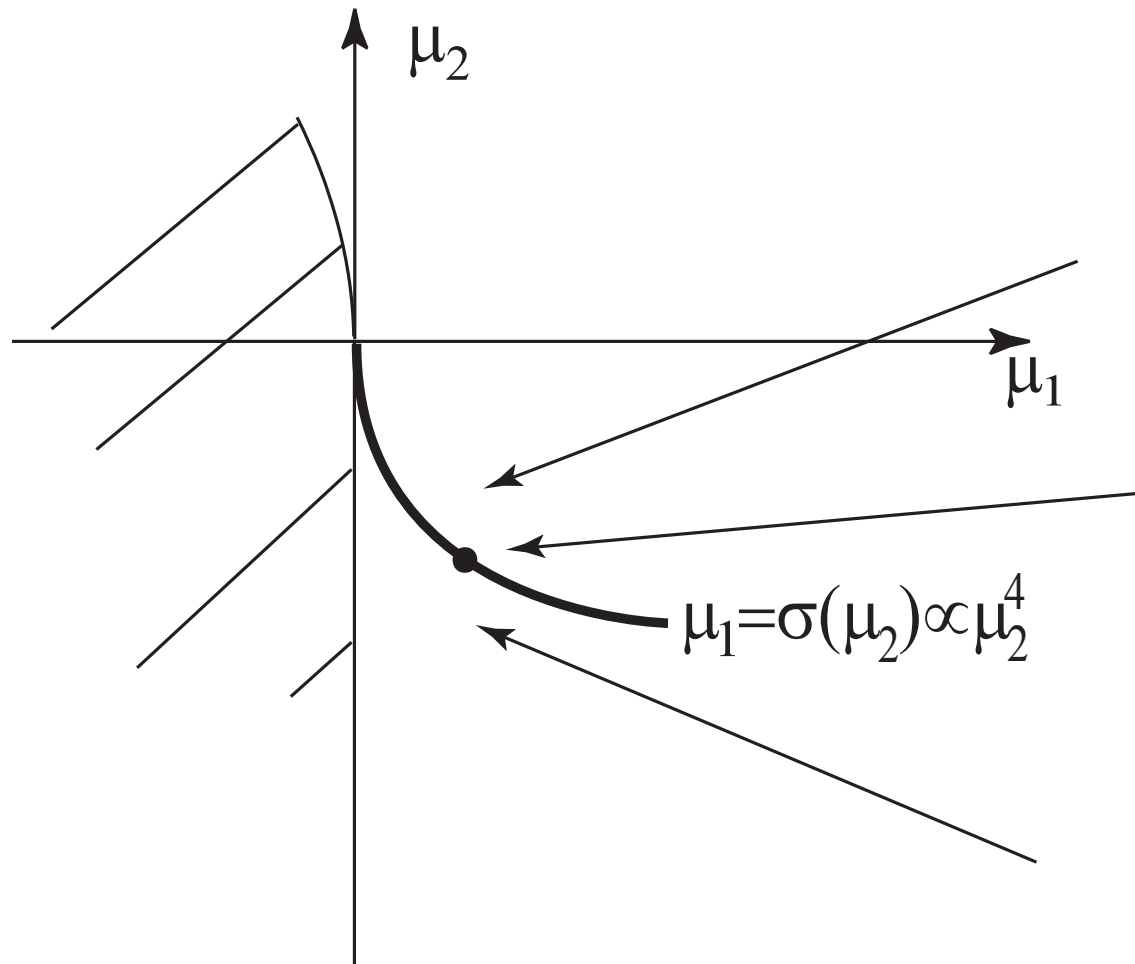
Hypothèses (H) sur la transversalité de la bifurcation et les orientations des variables et paramètres.

Théorème *Si f et C vérifient (H), alors il existe $\alpha > 0$ tel que pour μ et k^2 suffisamment petits, Φ_{μ, k^2} a une valeur propre proche de 0 et une valeur propre $\lambda(\mu, k^2)$ telle que*

$$\lambda(\mu, k^2) \simeq (1 - \alpha M f_1(\bar{u}_1)^{-1} k^2) \exp(-cTk^2).$$

Proposition $T \propto f_1(\bar{u}_1)^{-1} \iff \mu_2 \propto \mu_1^4, \quad \mu_2 < 0$

I.3.3. Etude non-linéaire au seuil



Dynamique sur la variété centrale

$$u(\tau) = p_\mu(\tau) + Az(\tau)e^{ik_0x} + \bar{A}z(\tau)e^{-ik_0x} + \phi(\tau, A, \bar{A}, \mu),$$

$$\partial_\tau A = c(\mu - \mu_0)A + d|A|^2A + \dots$$

$$\partial_t \tau = 1 + p(\tau, |A|^2, \mu) + \dots$$

$$N_0 = \int_{-\infty}^{+\infty} \left\langle h_0^*(t), D^3 f(h_0(t), 0)(h_0'(t)^{(3)}) \right\rangle dt$$

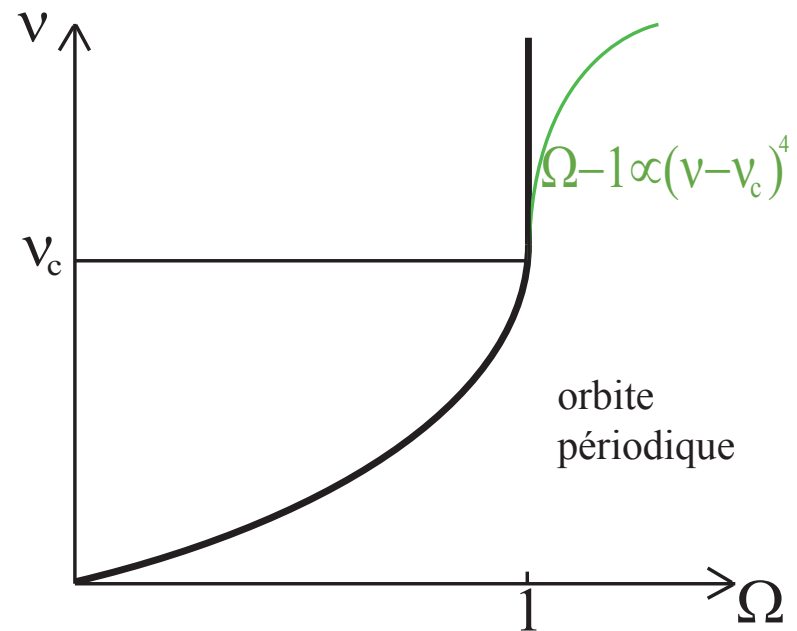
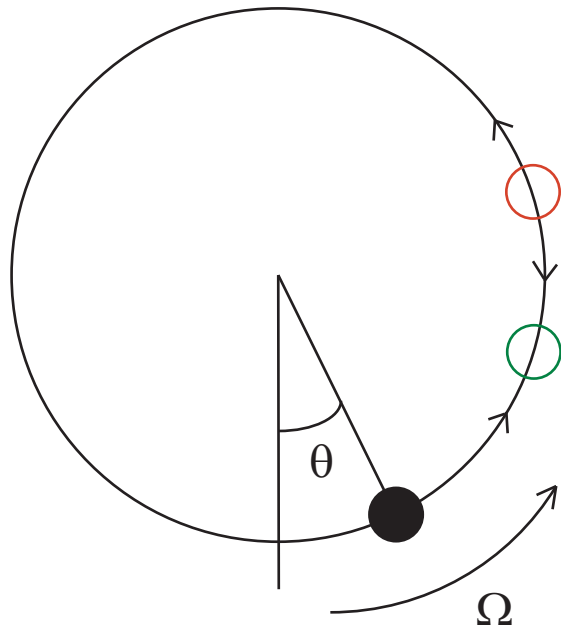
Propriété Si $N_0 > 0$, alors l'instabilité est supercritique.

Si $N_0 < 0$, l'instabilité est sous-critique.

$$\ddot{\theta} = -\sin \theta - \nu \dot{\theta} + \Omega + \theta_{xx}$$

$$c > 0, M > 0$$

$$N_0 \simeq 11.8$$

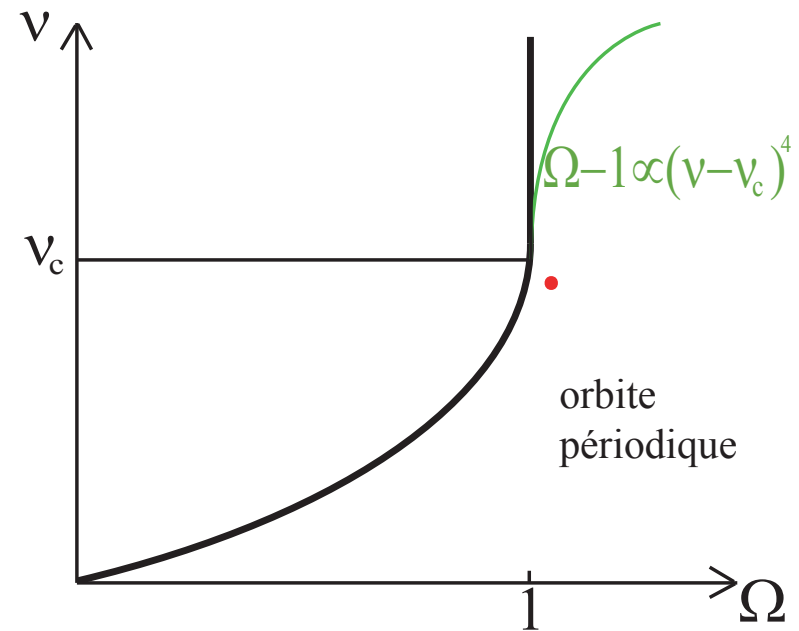


$$\ddot{\theta}_1 = -\sin \theta_1 - \nu \dot{\theta}_1 + \Omega + \kappa(\theta_2 - \theta_1)$$

$$\ddot{\theta}_2 = -\sin \theta_2 - \nu \dot{\theta}_2 + \Omega + \kappa(\theta_1 - \theta_2)$$

$$c > 0, M > 0$$

$$N_0 \simeq 11.8$$

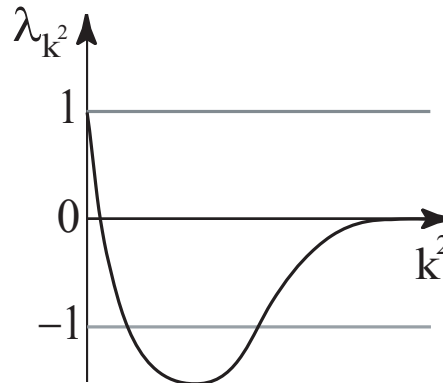


$$\Omega = 1.05, \nu = 1.1, \kappa = 0.1$$

Étude non-linéaire au seuil en domaine d'espace borné



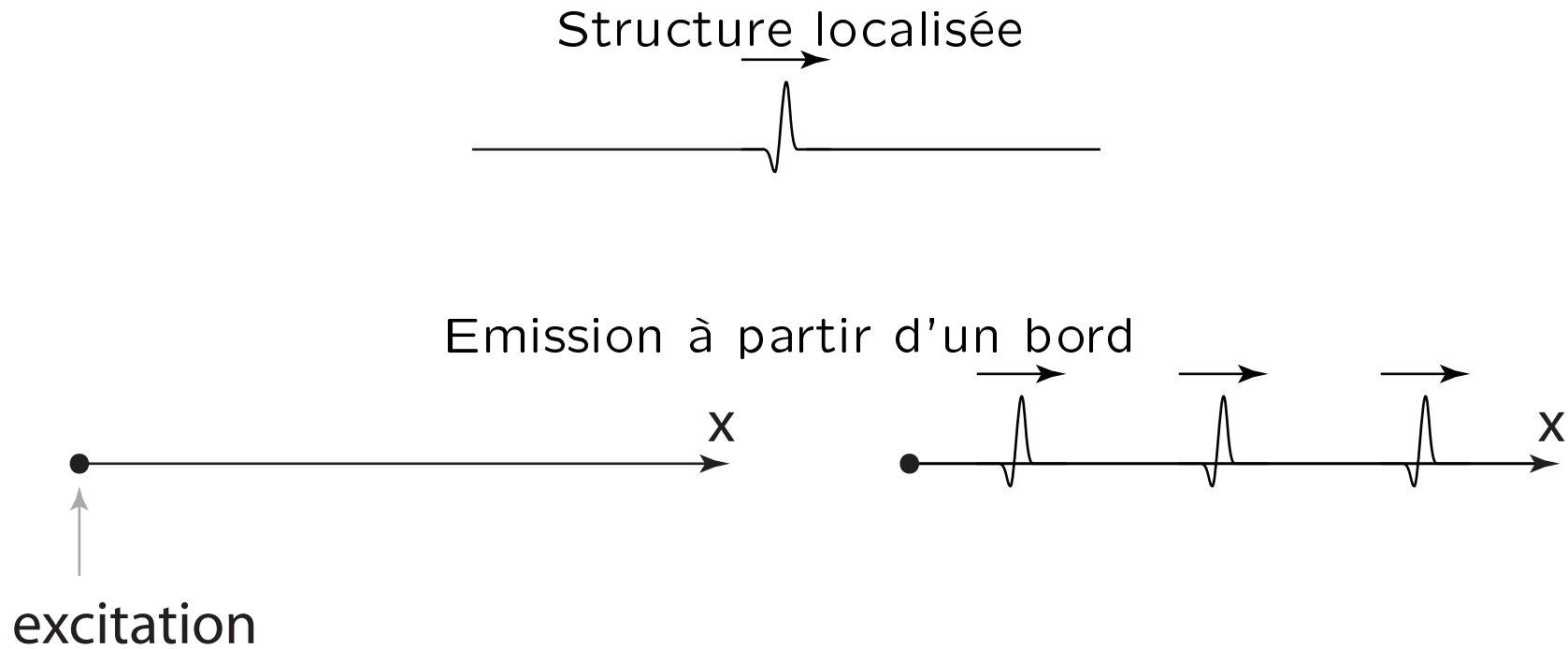
domaine non borné



Variété centrale de dimension infinie

Schneider

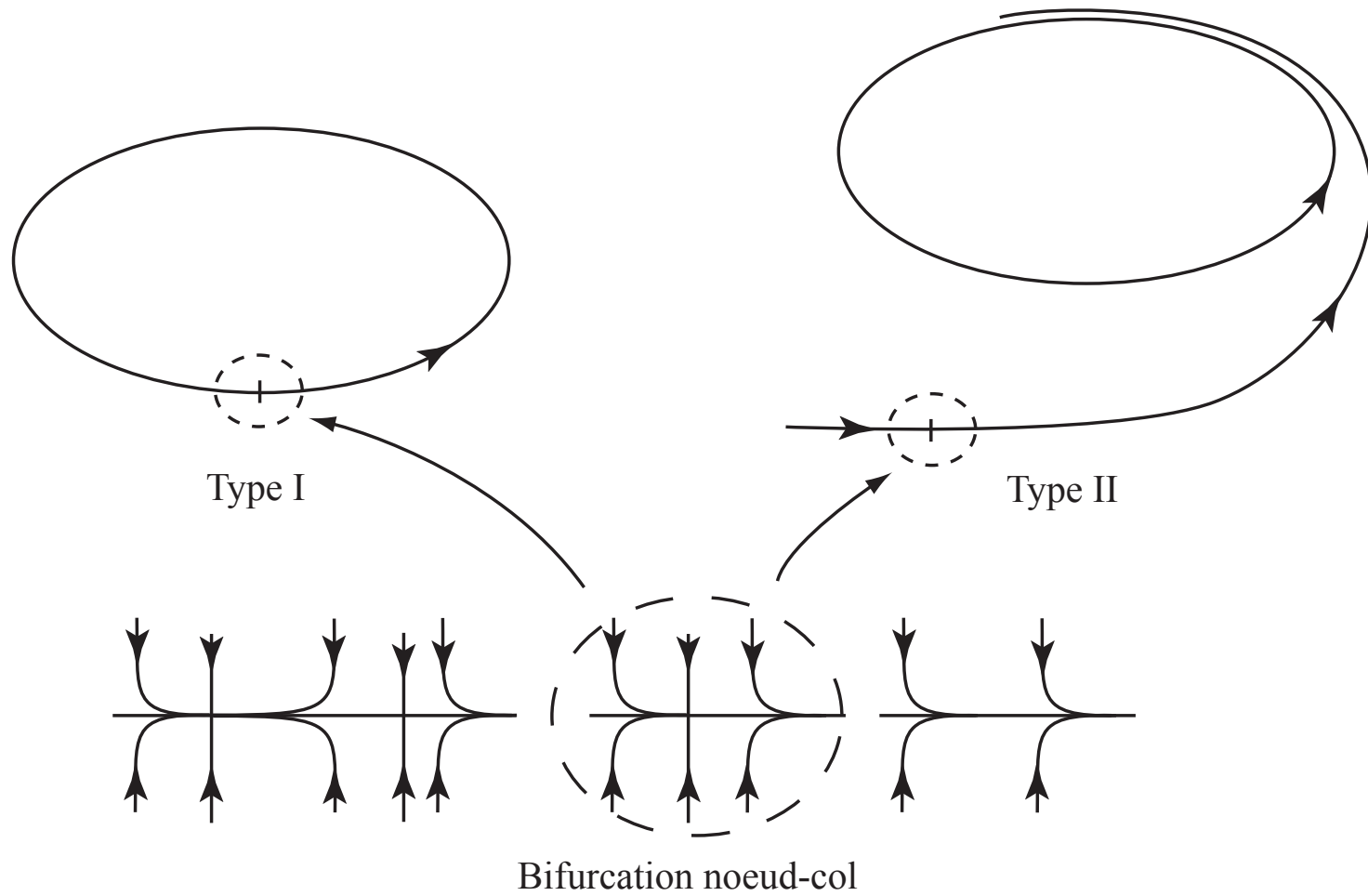
II. Emission périodique de type I de pulses



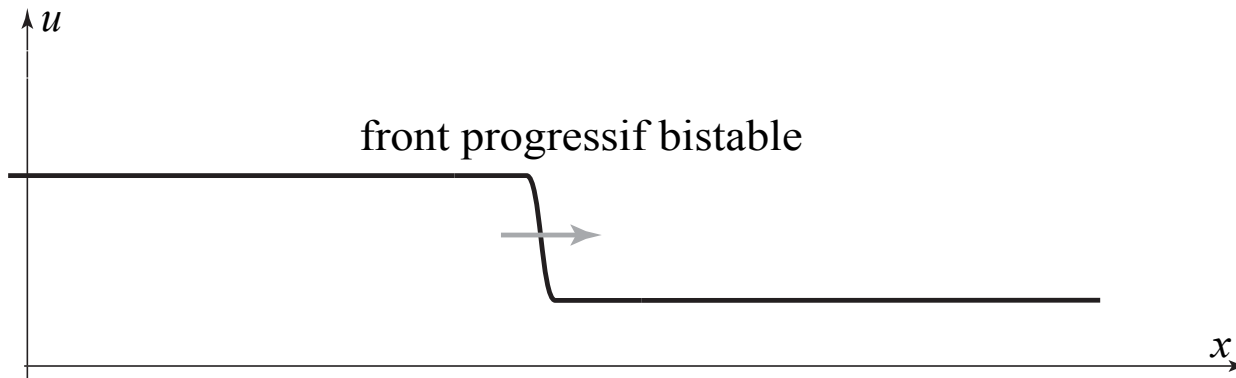
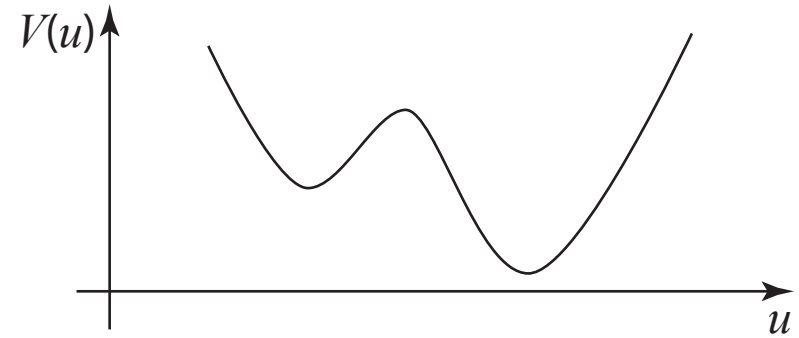
2 types d'émission périodique. Au seuil :

- fréquence nulle → type I
- fréquence finie → type II

Dynamique dans l'EDP



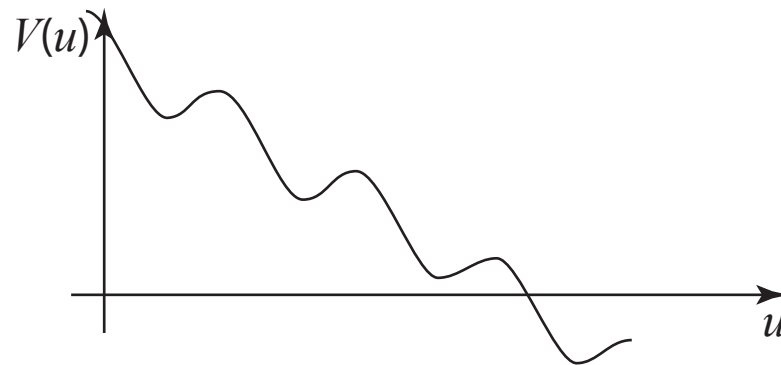
$$u_t = -V'(u) + u_{xx}, x \in \mathbf{R}$$



$$u_t = -\sin u + \Omega + u_{xx} = -V'(u) + u_{xx}$$

$$x \in \mathbf{R}, 0 < \Omega < 1$$

Sine-Gordon forcée sans inertie



Principe du maximum

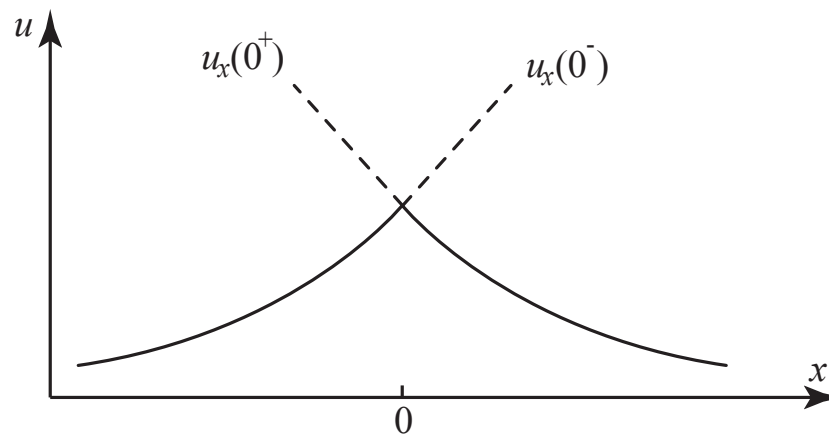
Fonctionnelle de Lyapunov

Inhomogénéité ponctuelle

$$u_t = -\sin u + \Omega + u_{xx} + \nu\delta_0 \quad x \in \mathbf{R} \quad \nu > 0$$

Solutions paires

$$\begin{cases} u_t = -\sin u + \Omega + u_{xx} & x \geq 0 \\ u_x(x=0, t) = -\phi & \phi = \nu/2 > 0 \end{cases}$$

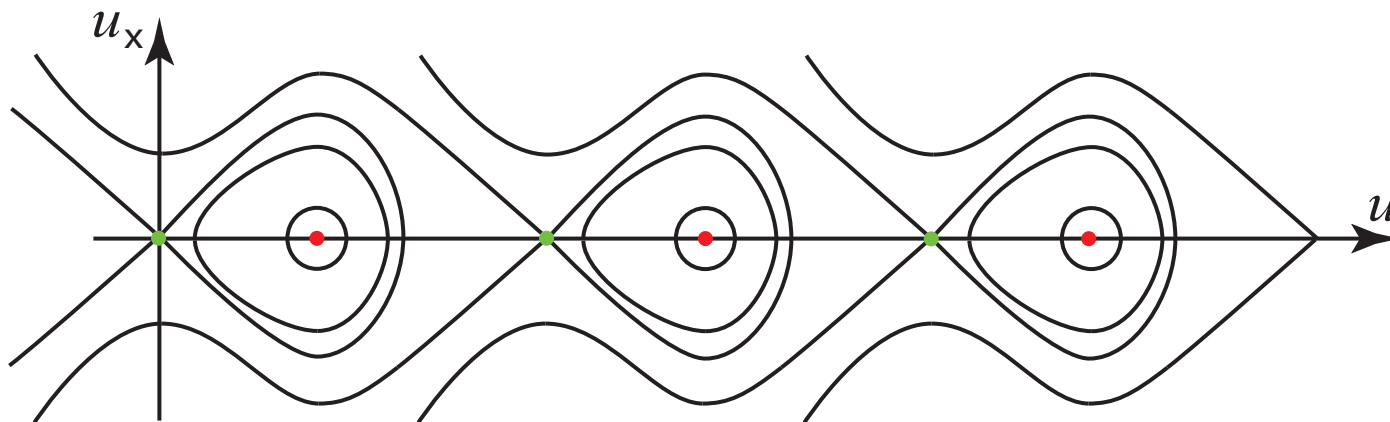


Espace des phases des solutions stationnaires

$$u_{xx} = \sin u - \Omega$$

$$0 < \Omega < 1$$

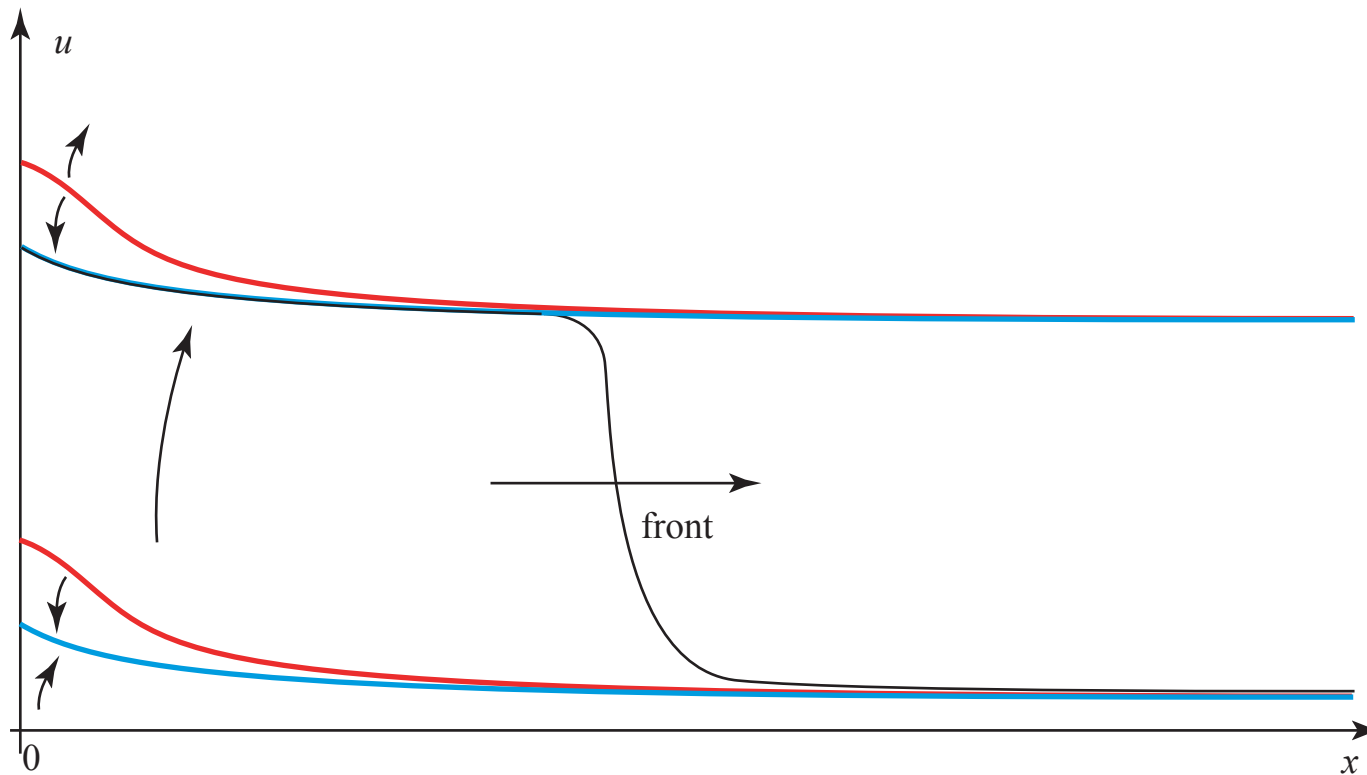
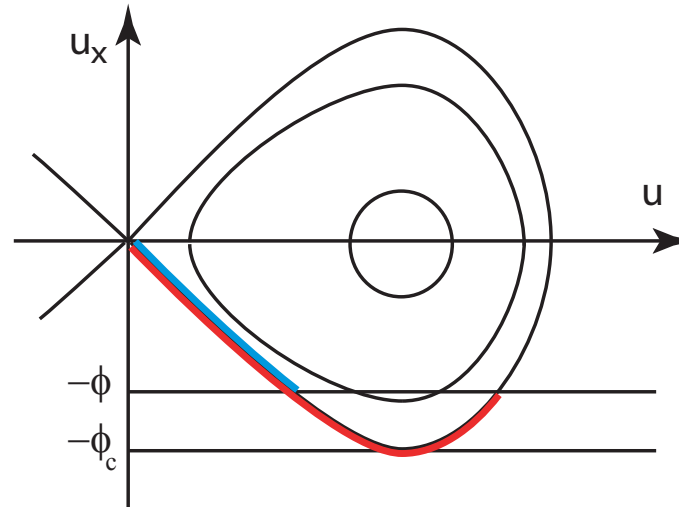
$$x \in \mathbf{R}$$

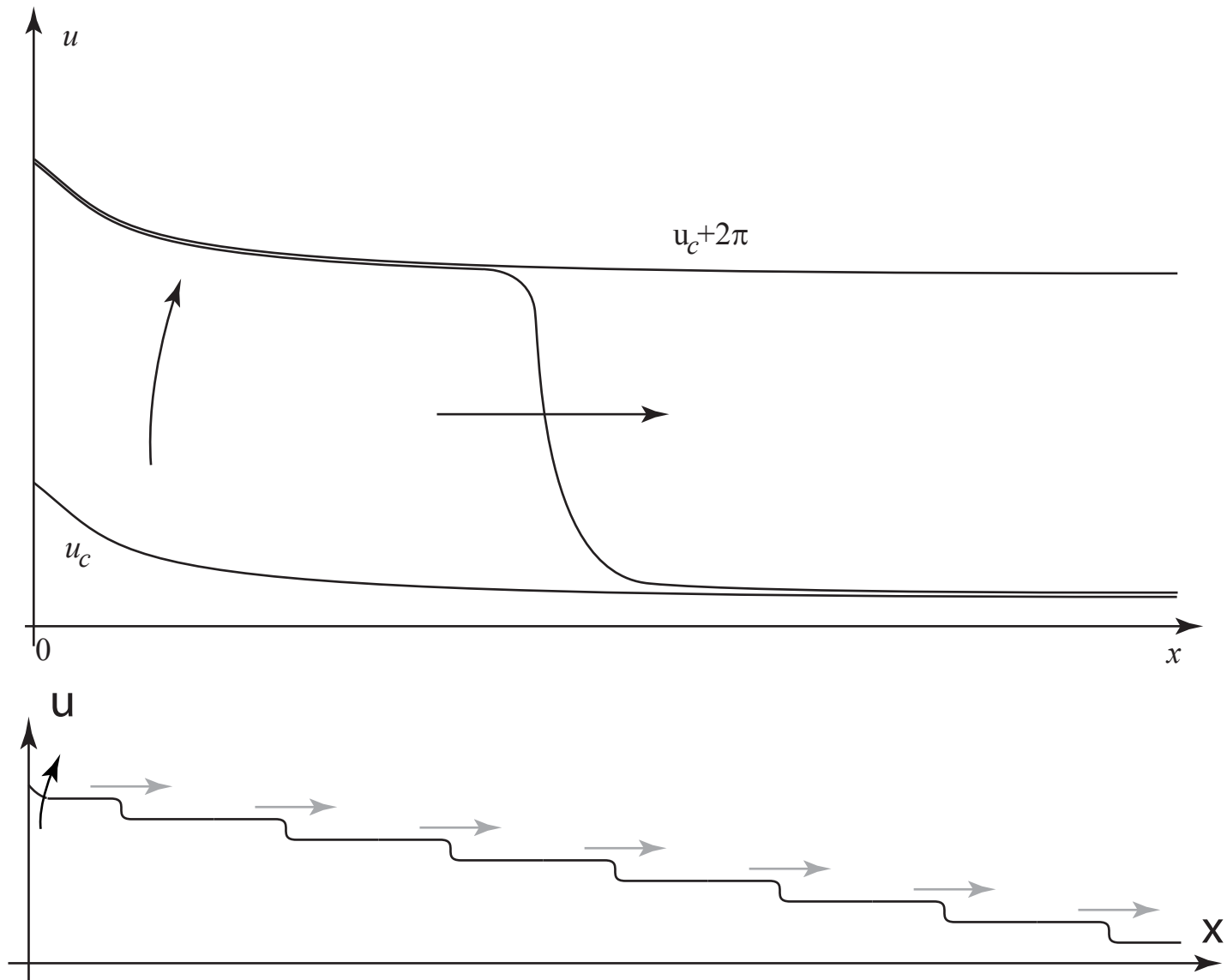


$x \in \mathbf{R}_+$

Neumann non homogène

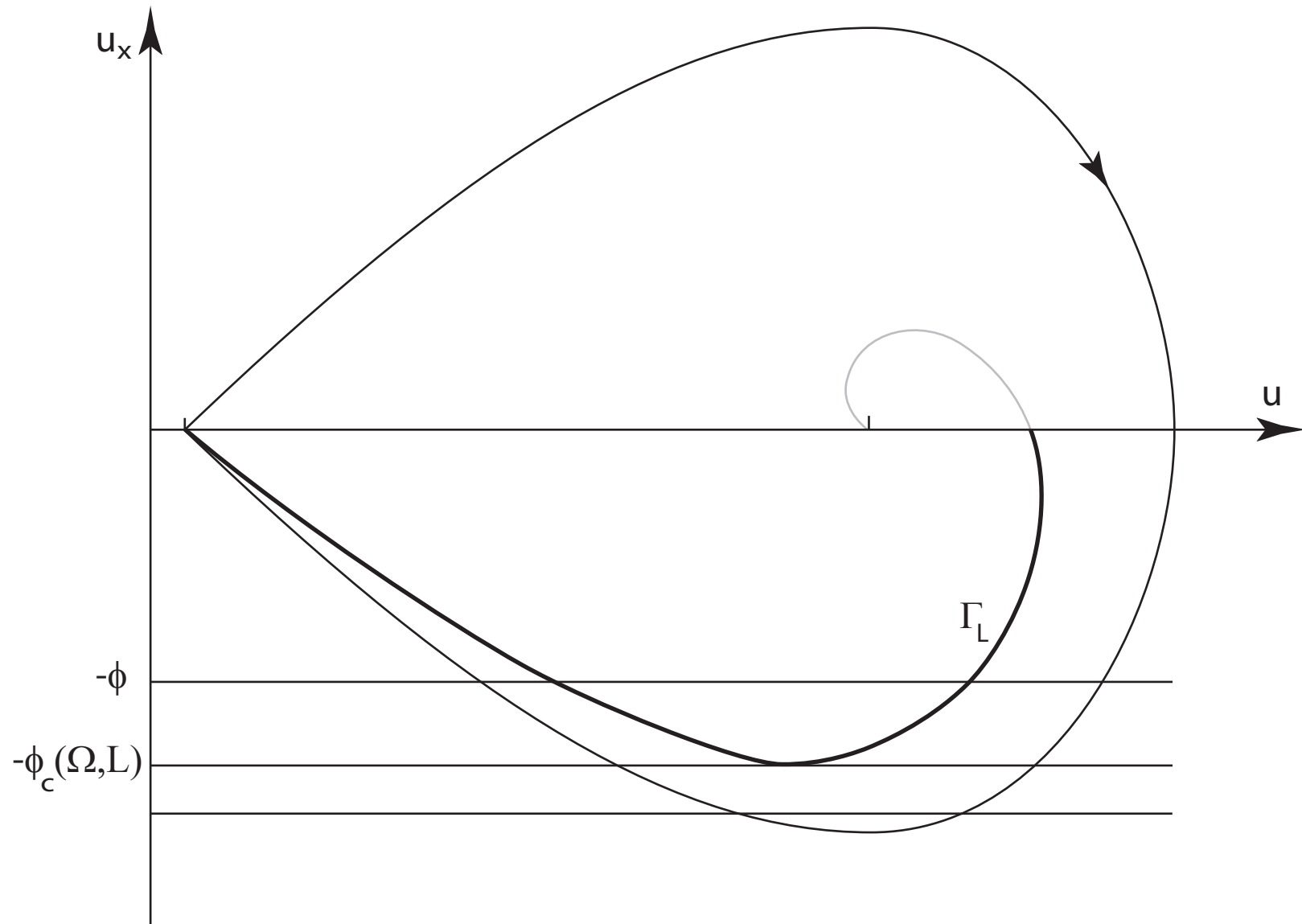
Stabilité à l'infini

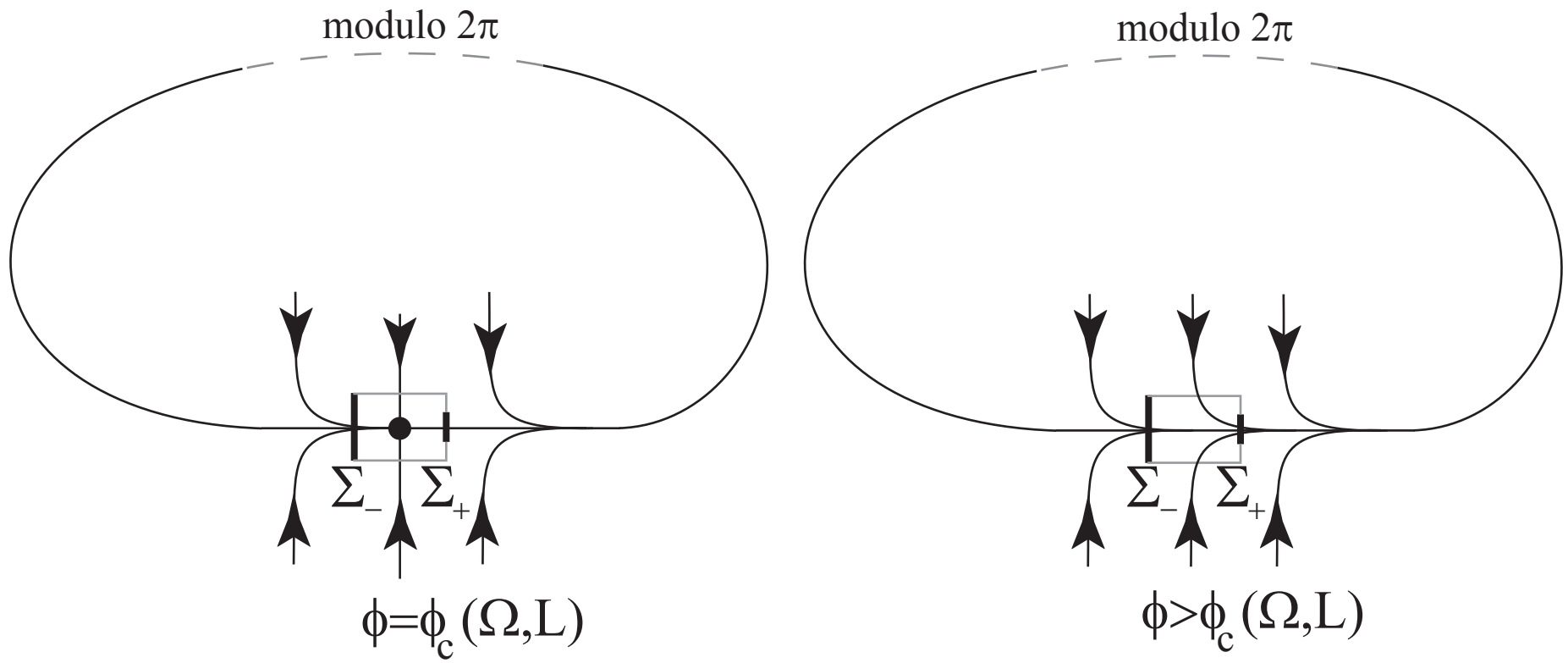




$$x \in [0, L], t \geq 0.$$

$$\begin{cases} u_t = -\sin u + \Omega + u_{xx} \\ u_x(x=0, t) = -\phi \\ u_x(x=L, t) = 0 \end{cases}$$



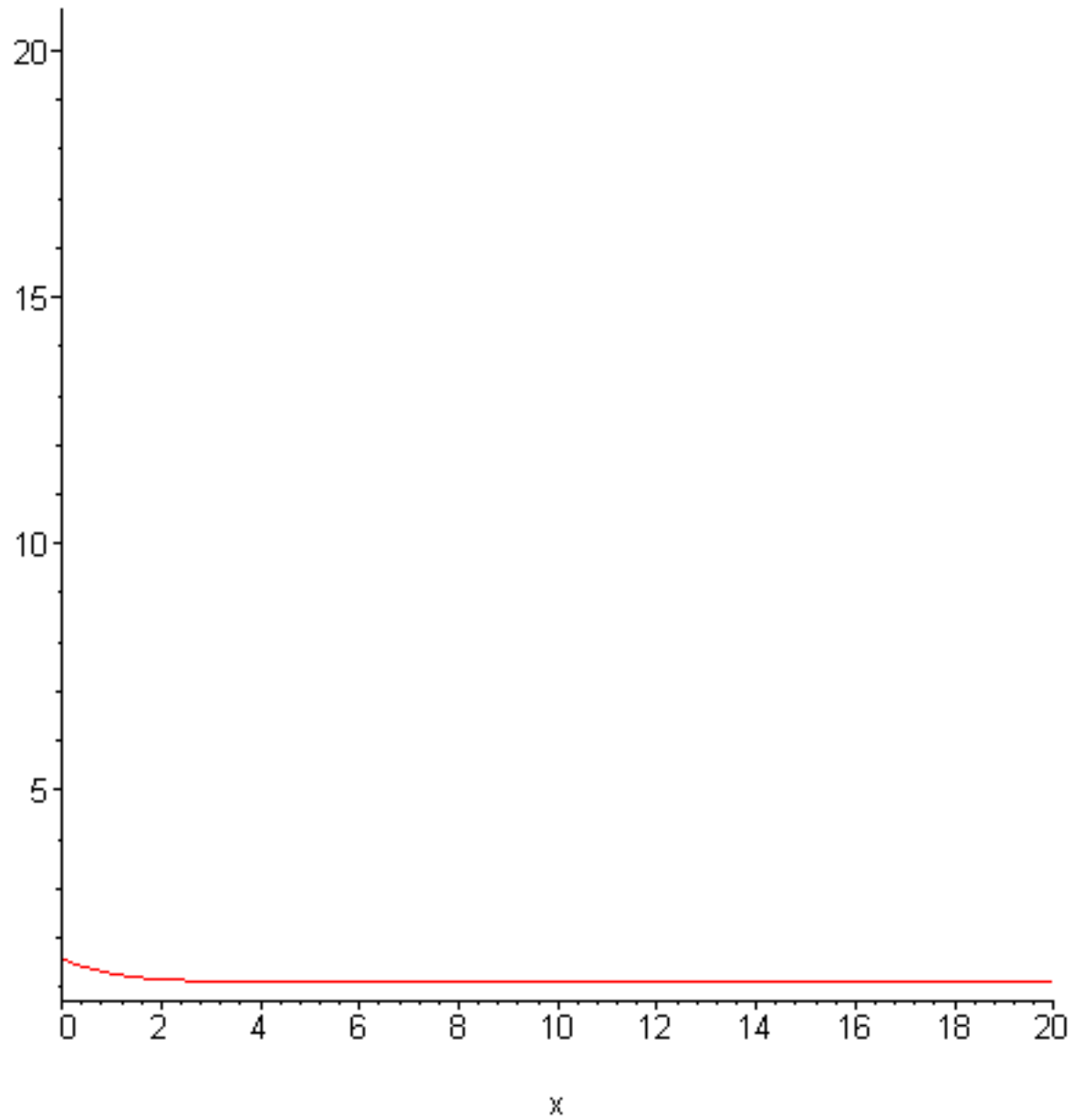


Théorème *Il existe $\varepsilon > 0$ tel que si $\phi_c(\Omega, L) < \phi < \phi_c(\Omega, L) + \varepsilon$, il existe une orbite périodique (modulo 2π) globalement attractive. Sa période est de l'ordre de $(\phi - \phi_c(\Omega, L))^{-1/2}$.*

$$L = 20$$

$$\Omega = 0.9$$

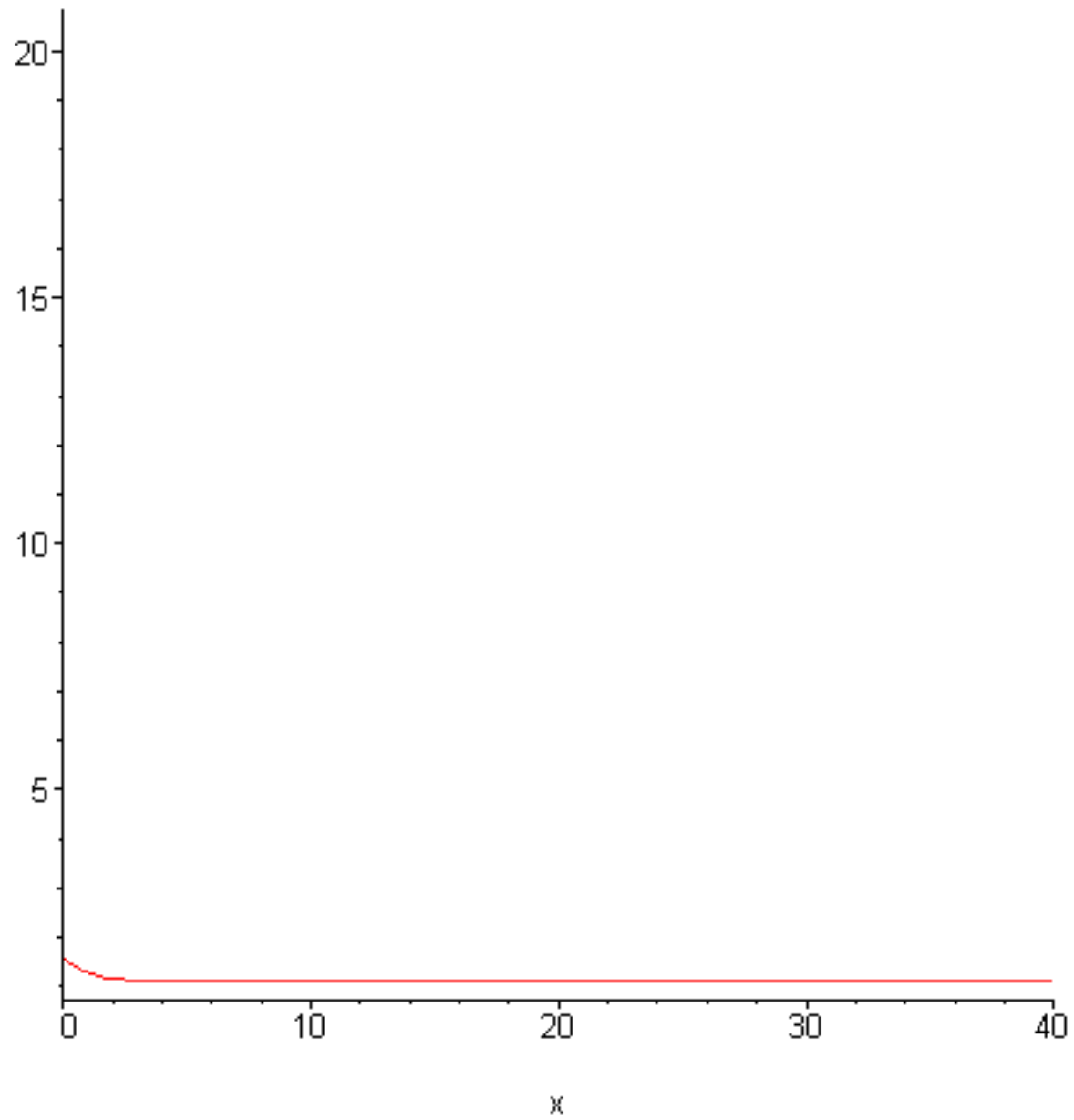
$$\phi = 0.4$$



$$L = 40$$

$$\Omega = 0.9$$

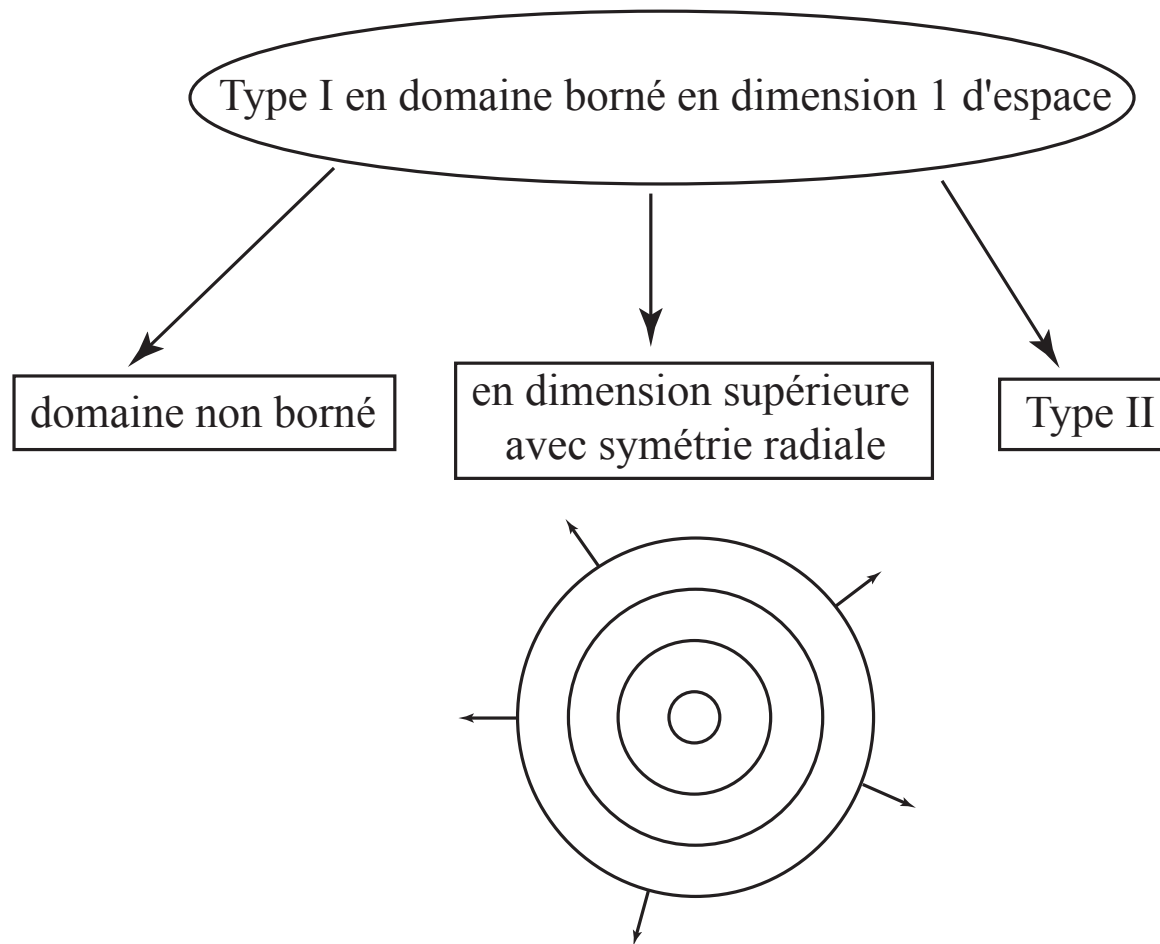
$$\phi = 0.4$$



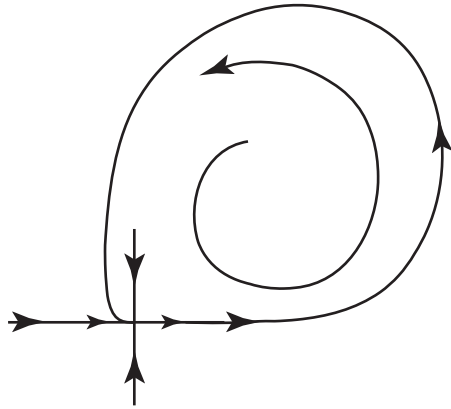
$$L = 40$$

$$\Omega = 0.9$$

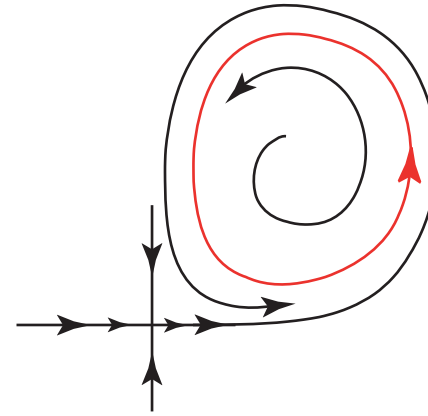
$$\phi = 0.4$$

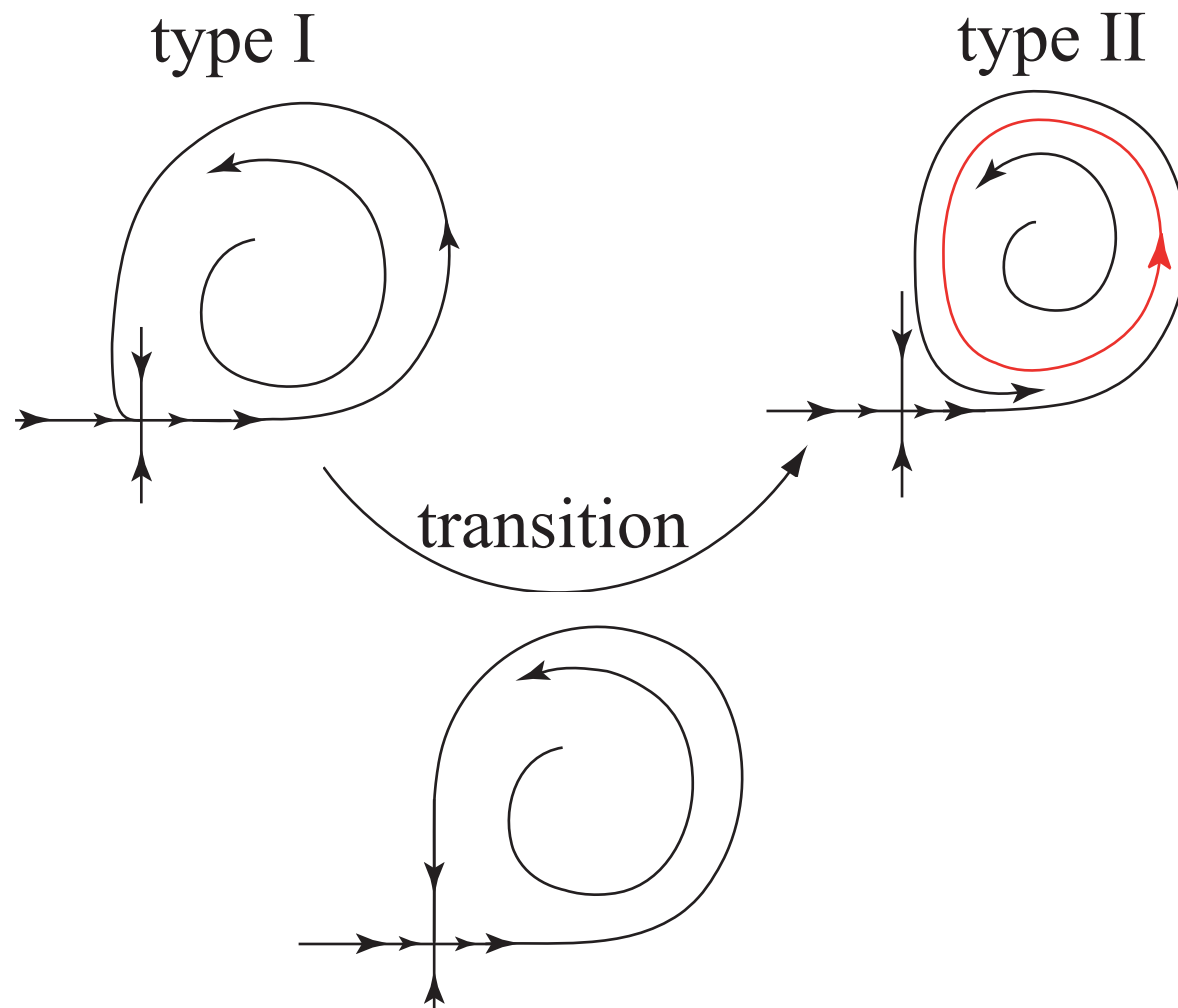


type I



type II





avec de l'inertie $\rightarrow \alpha u_{tt} + u_t + \sin u - \Omega + u_{xx} = 0$